**Zeitschrift:** Commentarii Mathematici Helvetici

Herausgeber: Schweizerische Mathematische Gesellschaft

**Band:** 70 (1995)

**Artikel:** Engouffrement symplectique et intersections lagrangiennes.

Autor: Laudenbach, Francois

**DOI:** https://doi.org/10.5169/seals-53013

#### Nutzungsbedingungen

Die ETH-Bibliothek ist die Anbieterin der digitalisierten Zeitschriften auf E-Periodica. Sie besitzt keine Urheberrechte an den Zeitschriften und ist nicht verantwortlich für deren Inhalte. Die Rechte liegen in der Regel bei den Herausgebern beziehungsweise den externen Rechteinhabern. Das Veröffentlichen von Bildern in Print- und Online-Publikationen sowie auf Social Media-Kanälen oder Webseiten ist nur mit vorheriger Genehmigung der Rechteinhaber erlaubt. Mehr erfahren

#### **Conditions d'utilisation**

L'ETH Library est le fournisseur des revues numérisées. Elle ne détient aucun droit d'auteur sur les revues et n'est pas responsable de leur contenu. En règle générale, les droits sont détenus par les éditeurs ou les détenteurs de droits externes. La reproduction d'images dans des publications imprimées ou en ligne ainsi que sur des canaux de médias sociaux ou des sites web n'est autorisée qu'avec l'accord préalable des détenteurs des droits. En savoir plus

#### Terms of use

The ETH Library is the provider of the digitised journals. It does not own any copyrights to the journals and is not responsible for their content. The rights usually lie with the publishers or the external rights holders. Publishing images in print and online publications, as well as on social media channels or websites, is only permitted with the prior consent of the rights holders. Find out more

**Download PDF: 28.11.2025** 

ETH-Bibliothek Zürich, E-Periodica, https://www.e-periodica.ch

# Engouffrement symplectique et intersections lagrangiennes

#### FRANÇOIS LAUDENBACH

Abstract. Let  $\{L_t\}$ ,  $t \in [0, 1]$ , be a path of exact Lagrangian submanifolds in an exact symplectic manifold that is convex at infinity and of dimension  $\geq 6$ . Under some homotopy conditions, an engulfing problem is solved: the given path  $\{L_t\}$  is conjugate to a path of exact submanifolds in  $T^*L_0$ . This implies  $L_t$  must intersect  $L_0$  at as many points as known by the generating function theory. Our Engulfing theorem depends deeply on a new flexibility property of symplectic structures which is stated in the first part of this work.

En topologie différentielle la méthode d'engouffrement a été introduite par E. C. Zeeman utilisée par J. Stallings [St] pour établir l'unicité de la structure différentielle sur  $\mathbb{R}^n$ ,  $n \ge 5$ . Elle a été aussitôt reprise par B. Mazur [Ma] pour l'équivalence stable des variétés. Dans le deux cas elle est mise en oeuvre dans un procédé de répétition infinie.

Dans [EG], Y. Eliashberg et M. Gromov ont donné une version symplectique du théorème de Mazur. Les champs de Liouville complets (voir la définition ci-dessous) y jouent une rôle majeur, le plus souvent grâce aux avatars du "truc d'Alexander" c'est-à-dire des propriétés magiques de l'expression  $\frac{1}{t}f(tx)$ .

Notre travail développe aussi une méthode d'engouffrement symplectique et propose une alternative topologique dans des problèmes étudiés par M. Gromov puis par A. Floer avec les courbes holomorphes.

#### La situation

(a)  $(M^{2n}, \omega)$  est une variété symplectique de dimension 2n, supposée exacte, c'est-à-dire  $\omega = d\lambda$ . La forme  $\lambda$ , comme toute primitive d'une forme symplectique, est appelée forme de Liouville. Le champ de Liouville associé  $\vec{\lambda}$  est le champ de vecteurs défini par  $i(\vec{\lambda})\omega = d\lambda$ . On fait l'hypothèse de convexité à l'infini (au sens de Eliashberg-Gromov [EG]):

Il existe une hypersurface compacte sans bord, transverse à  $\vec{\lambda}$ , bordant un domaine compact de M, et dont le saturé positif par le flot de  $\vec{\lambda}$  est complet et constitue un voisinage de l'infini de M.

(b) On considère une sous-variété lagrangienne L compacte connexe sans bord et  $\lambda$ -exacte, c'est-à-dire que  $\lambda$  y induit la différentielle d'une fonction. Il est connu qu'il existe une forme de Liouville  $\lambda_L$ , ne différant de  $\lambda$  que par la différentielle d'une fonction à support compact, et un plongement symplectique (non propre en général)  $T^*L \to M$  prolongeant l'inclusion  $L \to M$  et tel que  $\lambda_L$  y induise la forme de Liouville canonique du cotangent. On désigne par U(L) un ouvert de M image d'un tel plongement (on dira que U(L) est un ouvert cotangent).

On fait les hypothèses homotopiques:

$$\pi_1(M, L) = 0, \qquad \pi_2(M, L) = 0.$$

On peut dire aussi:  $\pi_1(M, U(L)) = 0$ ,  $\pi_2(M, U(L)) = 0$ .

(c) On se donne une isotopie de sous-variétés lagrangiennes compactes  $\lambda$ -exactes,  $L_t \subset M$ ,  $t \in [0, 1]$ , partant de  $L_0 \subset U(L)$ . Sans perte de généralité, on peut supposer que  $L_0$  est transverse à L

### Le principe d'engouffrement

Il énonce qu'il existe une isotopie hamiltonienne ambiante  $\varphi_t: M \to M$ ,  $t \in [0, 1]$ ,  $\varphi_0 = identité$ , à support compact coïncidant avec l'identité sur L et telle que, pour tout  $t \in [0, 1]$ ,  $\varphi_t(U(L))$  contienne  $L \cup L_t$ .

On dit aussi que U(L) peut engouffrer l'isotopie  $\{L_t\}$  relativement à L (rel. L). On se propose d'étudier la validité de ce principe.

Pour en souligner l'importance, notons tout de suite sa conséquence dans le cas où  $L_0 = L$  (ou une approximation générique de L): la persistance d'intersection, c'est-à-dire que  $L_t \cap L$  reste non vide pour tout t. En effet, l'isotopie  $t \mapsto \varphi_t^{-1}(L_t)$  est hamiltonienne dans le cotangent de L donc persiste à recontrer la section nulle L (Hofer [Ho]), en autant de points que le prescrit la théorie des fonctions génératrices (Sikorav [Si]).

THÉORÈME D'ENGOUFFREMENT. On considère la situation décrite cidessus et on suppose  $n \geq 3$ . Alors quitte à remplacer  $\{L_t\}$  par une  $\varepsilon$ -approximation le principe d'engouffrement est valide.

Grâce au théorème d'engouffrement, on retrouve par voie topologique certains des résultats sur les intersections lagrangiennes que Gromov [G1] a établis par la méthode des courbes holomorphes; cependant nos hypothèses homotopiques et dimensionnelles sont plus restrictives. Par exemple, C<sup>n</sup> muni de sa structure symplectique standard est convexe à l'infini. Par ailleurs, par translation n'importe quel

compact peut être disjoint de lui-même. Donc par l'absurde, le théorème d'engouffrement et son corrollaire sur la persistance d'intersection donne que, pour  $n \ge 3$ ,  $\mathbb{C}^n$  ne contient aucune sous-variété lagrangienne 1-connexe (une telle sous-variété vérifierait l'hypothèse homotopique du théorème d'engouffrement).

Signalons que le théorème d'engouffrement ne peut être vrai sans une hypothèse très forte à l'infini. Dans [Mu] M.-P. Muller a construit une 3-sphère lagrangienne plongée dans  $\mathbb{R}^6$  muni d'une structure symplectique (exotique) qui possède néanmoins un champ de Liouville complet dont le flot envoie tout compact à l'infini. Le principe d'engouffrement n'y est donc pas valide.

Le travail est divisé en trois chapitres.

- chapitre I: Déformation de structures symplectiques: un exemple de flexibilité
- chapitre II: Engouffrement de cylindres de Liouville
- chapitre III: Engouffrement de sous-variétés lagrangiennes

Comme le titre l'indique, on résout au chapitre I un problème de déformation de structures symplectiques. Le théorème qui y est établi trouve au chapitre II une application immédiate à un premier problème d'engouffrement. A partir de là on peut démontrer au chapitre III le théorème d'engouffrement annoncé. Chacun des chapitres a sa situation propre, une variété symplectique M vérifiant certaines hypothèses précisées à chaque fois, et enfin sa numérotation propre.

# Chapitre I DÉFORMATION DE STRUCTURES SYMPLECTIQUES; UN EXEMPLE DE FLEXIBILITÉ

Le h-principe de Gromov offre un outil très général pour étudier les déformations de certaines structures géométriques, en particulier des structures symplectiques, sur les variétés ouvertes. Ce principe interdit tout contrôle du support de la déformation et on sait bien que si l'on se fixe un compact comme support, on se trouve confronté aux phénomènes de rigidité de la géométrie symplectique. On propose ici une situation intermédiaire où la déformation cherchée doit être à support compact, mais dans un compact qui n'est pas donné à l'avance. Cela a un sens en géométrie symplectique car les compacts ont une "taille".

Soit donc M une variété de dimension 2n munie d'une forme symplectique  $\omega$ . Un champ de vecteurs X sur M est un champ de Liouville si son flot  $\chi$  satisfait l'identité:

$$\omega = e^t \chi_*^t \omega \tag{1}$$

Ici  $\chi_*^t \omega$  désigne l'image directe de  $\omega$  par le difféomorphisme  $\chi^t$ . En termes de dérivée de Lie, (1) s'écrit  $L_X \omega = \omega$  et par la formule de Cartan  $L_X = i_X d + di_X$ , où  $i_X$  désigne le produit intérieur par X, le champ X est de Liouville si et seulement si

$$d(i_X\omega)=\omega. (2)$$

Puisque  $\omega$  est symplectique,  $X \mapsto i_X \omega$  est un isomorphisme entre les champs de Liouville et les *formes de Liouville*, i.e. les primitives de  $\omega$ . Donc un champ de Liouville n'existe sur M que si  $\omega$  est exacte, ce que l'on suppose dans la suite. On note  $\lambda \mapsto \overline{\lambda}$  l'isomorphisme inverse et on dit que  $\overline{\lambda}$  est le champ de vecteurs  $\omega$ -dual de la 1-forme  $\lambda$ .

Quand le flot  $\chi$  n'est pas engendré par un champ de Liouville, la formule

$$\omega(t) = e^t \chi_*^t \omega \tag{3}$$

définit une déformation de  $\omega$  parmi les formes symplectiques. On résout ici, dans un cas particulier, le problème d'étendre à tout M une déformation donnée au voisinage du bord par des formules locales du type (3). L'originalité majeure de la solution résidera dans une technique de *chirurgie*.

# §1. Énoncé du résultat principal

La variété symplectique considérée est de la forme  $M = S \times \mathbb{R}^+$ , où S est une variété compacte, à bord éventuellement non vide, et  $\mathbb{R}^+ = [0, +\infty)$ . La variété M peut donc être à coins. On note  $u: M \to \mathbb{R}^+$  la coordonnée "verticale" (projection sur le second facteur): on note  $T^t$  le (semi)-flot  $(x, u) \mapsto (x, u + t)$  et  $\partial_u$  son générateur infinitésimal. On fait l'hypothèse:

(H<sub>1</sub>) Il existe une primitive  $\lambda$  de  $\omega$  dont le  $\omega$ -dual  $\vec{\lambda}$  coïncide avec  $\partial_u$  près de  $\{u = +\infty\}$  et de  $\partial S \times \{0\}$ .

Pour tout  $t \ge 0$ , la forme symplectique  $e^t T_*^t \omega$  n'est définie que sur  $T^t(M) = S \times [t, +\infty)$ . Cependant comme  $\partial_u$  est un champ de Liouville sur  $V \times [0, a]$ , où V est un voisinage collier de  $\partial S$  dans S et a > 0, la structure symplectique  $\omega$  admet un prolongement canonique à  $V \times \mathbf{R}$  de sorte que  $\partial_u$  soit un champ de Liouville sur  $V \times (-\infty, a]$ . Ce prolongement étant admis, la formule

$$\omega(t) = e^t T_*^t \omega \tag{4}$$

a un sens pour  $t \ge 0$  sur  $V \times \mathbb{R}^+$  et y définit une forme symplectique qui coïncide avec  $\omega$  sur  $V \times [0, a]$ .

- 1.1 THÉORÈME. Il existe un chemin  $(\tilde{\omega}(t))_{0 \le t \le 1}$  de formes symplectiques sur M avec les propriétés suivantes:
  - (i)  $\tilde{\omega}(0) = \omega$ ;
  - (ii)  $\tilde{\omega}(t)$  a le même germe le long de  $\partial S \times \mathbf{R}^+$  que le  $\omega(t)$  défini par (4);
  - (iii) le chemin  $(\tilde{\omega}(t))$  est constant, égal à  $\omega$ , près de  $\{u=0\}$  et de  $\{u=+\infty\}$ .

Le même résultat vaut avec un paramètre  $\theta \in [0, 1]^k$  pour une famille  $(\omega_\theta = d\lambda_\theta)$  de formes symplectiques exactes, où toutes les primitives  $\lambda_\theta$  vérifient les propriétés suivantes:

- (iv)  $\lambda_{\theta}$  est indépendant de  $\theta$  sur un voisinage fixe de  $\{u = +\infty\}$ ,
- (v)  $\partial_u$  est le  $\omega_{\theta}$ -dual de  $\lambda_{\theta}$  sur un voisinage fixe de l'infini et de  $\partial S \times \{0\}$ .
- 1.2 Remarques. Si  $\partial_u$  est un champ de Liouville au voisinage de  $S \times \{0\}$ , le résultat est évident, le prolongement étant donné par (4) avec V = S. Il en est de même s'il existe un champ de Liouville Z au voisinage de  $S \times \{0\}$  qui pointe vers l'intérieur de M et qui coïncide avec  $\partial_u$  au voisinage de  $\partial S \times \{0\}$ . Malheureusement il y a en général une obstruction à trouver un tel champ Z; elle sera expliquée plus loin.

En revanche il n'est pas difficile de résoudre le problème de prolongement pour un temps petit  $\varepsilon > 0$ . Pour le prolongement global le problème est d'exhiber une procédure de prolongement en temps petit qui possède la propriété de microcompressibilité au sens de Gromov [G2, chapter 2], de sorte que la même procédure puisse être appliquée pour  $t \in [\varepsilon, 2\varepsilon]$ ,  $t \in [2\varepsilon, 3\varepsilon]$ , etc. . L'ingrédient principal permettant cette démarche est l'existence de bandes caractéristiques [La], qui repose sur le fait que  $\partial_u$  est un champ de Liouville près de l'infini. Le problème est finalement résolu par une suite de chirurgies.

1.3 Terminologie. Dans la suite et sauf mention du contraire, par forme de Liouville (resp. champ de Liouville) on entend une primitive de  $\omega$  de la forme  $\lambda + dH$ , où H est une fonction à support compact, (resp. le  $\omega$ -dual d'une telle primitive).

# §2. Réduction à un cas particulier

On rappelle que les caractéristiques d'une hypersurface N sont les lignes  $L \subset N$  dont l'espace tangent  $T_xL$  est le  $\omega_x$ -orthogonal de  $T_xN$ . Si N est le niveau régulier d'une fonction H, le champ hamiltonien  $\overrightarrow{dH}$  est tangent à N et les caractéristiques de N sont les courbes intégrales de  $\overrightarrow{dH}_{|N}$ .

### 2.1 Cylindres de Darboux et bandes caractéristiques

Un cylindre de Darboux  $\tilde{B}$  est une sous-variété de dimension 2n, proprement plongée dans M, munie d'une sous-variété symplectique  $\Delta$  de dimension 2n-2 et d'un difféomorphisme  $x \mapsto (\pi(x), v(x), h(x))$  de  $\tilde{B}$  sur  $\Delta \times \mathbb{R}^+[-\delta, +\delta]$ ,  $\delta > 0$ , avec les propriétés suivantes:

- (i) si  $x \in \Delta$ , on a  $\pi(x) = x$ , v(x) = 0, h(x) = 0;
- (ii) sur  $\tilde{B}$ , on a  $\omega = \pi^* \omega_0 \pm dv \wedge dh$  où  $\omega_0$  est la forme symplectique induite par  $\omega$  sur  $\Delta$ .

La base du cylindre de Darboux est définie par  $\tilde{\Delta} = \{v = 0\}$ . D'autre part on dira que  $\tilde{B}$  est un cylindre de Darboux normal si

(iii)  $\partial_u$  pointe à l'extérieur de  $\tilde{B}$  le long de  $\partial \tilde{B}$  quand u (ou v, par propreté) est assez grand.

Si cette propriété est satisfaite pour  $u \ge u_0$ , on dira parfois que  $\tilde{B}$  est en forme normale pour  $u \ge u_0$ .

Une bande caractéristique (normale) B est l'âme  $\{h=0\}$  d'un cylindre de Darboux (normal). Alors B est une hypersurface propre de M, avec une sous-variété symplectique  $\Delta$  (appelée la base de B) et un difféomorphisme  $x \mapsto (\pi(x), v(x))$  de B sur  $\Delta \times \mathbb{R}^+$  tels que  $\pi(x) = x$  si  $x \in \Delta$  et que les fibres de  $\pi$  soient les caractéristiques de B.

L'hypothèse  $(H_1)$  garantit l'existence de beaucoup de bandes caractéristiques normales. De façon précise on a le résultat suivant prouvé dans [La].

- 2.2 THÉORÈME. Soit  $\beta_1, \ldots, \beta_p$  des boules de dimension 2n-2 mutuellement disjointes, plongées dans  $\inf\{u=0\}$  transversalement aux caractéristiques (elles sont donc symplectiques). Soit  $\tilde{\beta}_i \subset \inf\{u=0\}$ ,  $i=1,\ldots,p$ , obtenu en épaississant  $\beta_i$  dans la direction des caractéristiques de  $\{u=0\}$ . Alors il existe des bandes caractéristiques normales  $B_1,\ldots,B_N$  de bases  $\Delta_1,\ldots,\Delta_N$  avec les propriétés suivantes:
- (i) elles sont les âmes de cylindres de Darboux normaux et mutuellement disjoints, de bases contenues dans  $\{u = 0\}$ ;
  - (ii) toute caractéristique de  $\tilde{\beta}_i$  rencontre l'intérieur d'un  $\Delta_k$ .

#### 2.3 Une construction

Soit  $U \subset \operatorname{int} U' \subset U' \subset U''$  des voisinages colliers de  $\partial S$  dans S, U et U' étant compacts et U'' ouvert, assez petits pour que  $\partial_u$  soit un champ de Liouville au voisinage de  $U'' \times \{0\}$ . Identifiant un instant  $\{u = 0\}$  avec S, on choisit des boules de dimension 2n - 2,  $\beta_1, \ldots, \beta_p$ , qui détruisent la récurrence du feuilletage caractéristique de  $S = \{u = 0\}$  hors de U au sens suivant:

- (a) toute caractéristique de  $\{u=0\}$ , ou demi-caractéristique infinie, non contenue dans U intersecte l'intérieur d'un des  $\beta_i$ ;
- (b) de même pour tout segment caractéristique non contenu dans U'' et dont les extrémités sont dans U';
- (c) tout segment caractéristique dont les extrémités sont dans un même  $\beta_i$  coupe l'intérieur d'un autre  $\beta_k$ .

On applique le théorème 2.2 à ces boules et on trouve des bandes caractéristiques normales  $B_1, \ldots, B_N$ , dont les bases  $\Delta_1, \ldots, \Delta_N \subset \inf\{u=0\}$  détruisent aussi la récurrence du feuilletage caractéristique, c'est-à-dire qu'ils vérifient aussi (a)-(c). Les  $\tilde{B}_i$  sont les cylindres de Darboux donnés par 2.2 et les  $\tilde{\Delta}_i$  désignent leurs bases respectives. On note alors S' l'adhérence de  $S\setminus\bigcup\tilde{\Delta}_i$ .

2.4 LEMME. Il existe un champ de Liouville Y qui pointe vers les u > 0 le long de  $S' \times \{0\}$  et qui coïncide avec  $\partial_u$  près de  $\partial S \times \{0\}$ .

*Preuve.* (Chaperon) On veut construire un hamiltonien à support compact H sur M tel que le  $\omega$ -dual Y de  $\lambda + dH$  vérifie  $Y = \partial_u$  près de  $\partial S \times \{0\}$  et  $Y \cdot u > 0$  sur  $S' \times \{0\}$ . La dernière condition peut être réécrite  $\vec{\lambda} \cdot u + \{H, u\} > 0$ , où  $\{H, u\}$  désigne le crochet de Poisson, ou encore:

$$\vec{du} \cdot H < \vec{\lambda} \cdot u \quad \text{sur } S' \times \{0\},$$

Puisque  $\vec{du}$  est tangent à  $\{u=0\}$ , cette condition ne fait intervenir que les deux fonctions h(x) := H(x, 0) et  $g(x) := (\vec{\lambda} \cdot u)(x, 0)$ ,  $x \in S$ , ainsi que le champ de vecteurs Z sur S' obtenu en prenant la restriction de  $\vec{du}$  à  $S' \times \{0\}$ . Le problème est de construire  $h: S' \to \mathbb{R}$  satisfaisant

$$Z \cdot h < g \tag{5}$$

et (par exemple) h=0 près du bord de S, sachant que  $g(x)=\partial_u\cdot u=1$  si  $x\in U''$ . On pose h=0 comme germe de fonction le long de U. On introduit une fonction  $\theta: \mathbf{R} \to \mathbf{R}$  telle que  $\theta(t) < t$  pour tout t et  $\theta(t)=0$  pour  $t\geq 1$ . Soit  $K_0$  la réunion de toutes les lignes du champ Z (c.-à-d. les caractéristiques de  $S'\times\{0\}$ ) qui rencontrent U. D'après 2.3(a)  $K_0$  est compact. On affirme qu'il existe exactement une extension de h en un germe de fonction le long de  $K_0$  solution de l'équation différentielle

$$Z \cdot h = \theta \circ g \tag{6}$$

(ce qui implique (5) au voisinage de  $K_0$ ). En effet, si  $\zeta$  désigne le flot de Z, (6) définit h par la formule

$$h(\zeta^{t}(x)) = \int_{0}^{t} \theta \circ g(\zeta^{s}(x)) ds, \tag{7}$$

pour tout  $(x, t) \in U \times \mathbb{R}$  appartenant au domaine de définition de  $\zeta$ . Tant que l'orbite de x reste dans U'', la fonction vaut 0 et si elle sort de U'' elle ne revient jamais dans U, d'après 2.3(b). Donc la définition de h est univoque sur  $K_0$ . Elle vaut aussi pour un germe de fonction le long de  $K_0$  car la formule (7) convient encore pour  $x \in U'$ . Alors, comme germe de fonction le long de  $K_0$ , on a l'identité

$$h(\zeta^{t}(x)) = h(x) + \int_{0}^{t} \theta \circ g(\zeta^{s}(x)) ds.$$
 (8)

Chaque  $\partial \tilde{\Delta}_j$  est l'union disjointe d'une face d'entrée  $\tilde{\Delta}_j^+$  le long de laquelle Z pointe vers l'intérieur de  $\tilde{\Delta}_j$ , d'une face de sortie  $\tilde{\Delta}_j^-$  le long de laquelle Z pointe vers l'extérieur et d'un face latérale à laquelle Z est tangente. Par 2.3(c), toute orbite dans  $S'\setminus K_0$  va d'un  $\tilde{\Delta}_j^-$  à un  $\tilde{\Delta}_k^+$ . On peut donc définir des compacts  $K_1\subset\cdots\subset K_N=S'$  contenant  $K_0$  comme suit: pour  $0< j\leq N, K_j$  est l'union de  $K_{j-1}$  et des orbites de Z qui rencontrent l'adhérence de  $\tilde{\Delta}_j^-$ . On suppose que h est construite au voisinage de  $K_{j-1}$ , satisfaisant (6)–(8). On étend le germe induit le long de  $K_{j-1}\cap \operatorname{adh}(\tilde{\Delta}_j^-)$  en un germe le long de  $\operatorname{adh}(\tilde{\Delta}_j^-)$  tout entier satisfaisant (6). Comme cette hypersurface est transverse à Z, il n'y a pas d'obstruction à le faire. Puis on utilise la formule (8), avec x voisin de  $\operatorname{adh}(\tilde{\Delta}_j^-)$ , pour prolonger h comme germe le long de  $K_j$ .

2.5 Remarque. L'obstruction mentionnée en 1.2 est claire. Par exemple si un segment caractéristique de  $S \times \{0\}$  a ses extrémités a, b dans  $\partial S \times \{0\}$ , (5) peut interdire à H de prendre la même valeur en a et b.

#### 2.6 Le situation modèle

Elle est définie par les hypothèses suivantes:

(H<sub>2</sub>) S est elle-même le produit  $D \times [0, 1]$ , où D est une boule fermée standard de  $\mathbb{R}^{2n-2}$ . Ainsi tout point de M s'écrit  $(x, y, u) \in D \times [0, 1] \times \mathbb{R}^+$ .

- (H<sub>3</sub>) Les caractéristiques de  $\{u=0\}$  sont les segments  $\{x\} \times [0, 1]$  et la forme induite par  $\omega$  sur  $\{u=0\}$  relève la structure symplectique standard de  $\mathbb{R}^{2n-2}$ .
- (H<sub>4</sub>) Il existe un voisinage collier compact U de  $\partial S$  et une bande caractéristique normale B dans M vérifiant:
  - $\partial_u$  est un champ de Liouville au voisinage de  $U \times \{0\}$ ;
  - la base  $\Delta$  de B rencontre transversalement et en un seul point toutes les caractéristiques  $\{x\} \times \{0, 1\}$  de  $\{u = 0\}$  non contenues dans U.

Remarque. Sauf sous des hypothèses de convexité, il est impossible d'avoir  $\partial \Delta \subset \partial S$ .

2.7 LEMME. Pour obtenir le théorème 1.1 (sans paramètres), il suffit de le prouver sur la situation modèle  $(H_1)-(H_4)$ .

Preuve. On peut changer la structure produit  $M = S \times \mathbb{R}^+$  qui n'a aucune signification particulière vis-à-vis de la structure symplectique sauf au voisinage de l'infini et de  $\partial S \times \{0\}$ . On reprend la construction 2.3. Disons que dans  $\{u \geq u_0\}$  les cylindres de Darboux  $\widetilde{B}_1, \ldots, \widetilde{B}_N$  sont sous forme normale. Comme  $2n \neq 3$ , un arc allant de  $\{u=0\}$  à  $\{u=u_0\}$  dans  $\{0 \leq u \leq u_0\}$  n'est jamais noué et deux tels arcs ne sont jamais enlacés. De là on déduit que l'adhérence de  $\{0 \leq u \leq u_0\} \setminus \bigcup \widetilde{B}_i$  est un produit  $S' \times [0, u_0]$  prolongeant la structure produit des  $\widetilde{B}_i$ . On élargit chaque base  $\Delta_j$  de  $B_j$  en une boule  $\Delta'_j$  transverse aux caractéristiques de  $\{u=0\}$  et contenant  $\Delta_j$  en son intérieur, puis on épaissit  $\Delta'_j$  en  $\widetilde{\Delta}'_j$  dans la direction des caractéristiques de sorte que int  $\widetilde{\Delta}'_j \supset \widetilde{\Delta}_j$ . A cause de la structure produit mentionnée plus haut, il existe un champ de vecteurs Z sur M avec les propriétés suivantes:

- (i) Z coïncide avec  $\partial_u$  dans  $\{u \ge u_0\}$  et au voisinage de  $\partial M \cap \{u > 0\}$ ;
- (ii) Z coïncide avec le champ de Liouville Y donné par 2.4 au voisinage de  $S' \times \{0\}$ ;
- (iii) toute orbite de Z va de  $\{u = 0\}$  à l'infini;
- (iv) toute orbite issue d'un point de  $\{u=0\}$  n'appartenant pas aux  $\widetilde{\Delta}'_j$  évite les cylindres  $\widetilde{B}_k$  jusqu'à  $\{u=u_0\}$  et définitivement à cause de leur forme normale.

La nouvelle structure produit sur M est alors donnée par le flot de Z. Dans cette structure, notons M' l'adhérence de  $(S \setminus \bigcup \tilde{\Delta}'_j) \times \mathbb{R}^+$ . Comme  $Z = \partial_u$  est un champ de Liouville au voisinage de  $\{u = 0\}$  dans M', le prolongement cherché  $\tilde{\omega}(t)$  peut être donné par la formule (4) au voisinage de M'. Il ne reste plus qu'à boucher les trous  $\tilde{\Delta}'_j \times \mathbb{R}^+$ , qui correspondent chacun à une situation modèle.

### §3. Démonstration du théorème 1.1 (sans paramètre)

#### 3.1 Hypothèses et notations

Par le lemme 2.7, on peut supposer  $(H_1)-(H_4)$ . Par  $(H_3)$  on a  $\{u, y\} = \overrightarrow{du} \cdot y \neq 0$  le long de  $\{u = 0\}$ . Alors, quitte à changer y en 1 - y, on peut supposer  $\{u, y\} < 0$  le long de  $\{u = 0\}$ . Autrement dit  $\partial_y$  et  $\overrightarrow{du}$  orientent les caractéristiques de  $\{u = 0\}$  dans des sens opposés.

On note  $U_0$  et  $U_1$  des voisinages colliers compacts de  $\partial D$  dans D avec  $U_0 \subset \operatorname{Int} U_1$ ,  $U_1 \times [0, 1] \subset U$  et  $\partial \Delta \subset U_0 \times [0, 1] \times \{0\}$  (voir  $(H_4)$ ); leurs bords intérieurs sont des sphères euclidiennes. On choisit des constantes positives  $\varepsilon$  et  $\delta$  satisfaisant (9)–(11) ci-dessous;

$$\vec{\lambda} = \partial_u \text{ près de } \{1 - \delta \le y \le 1, u = 0\} \text{ et de } \{y = 1 - \delta, 0 \le u \le \varepsilon\}.$$
 (9)

En fait au départ, on peut choisir  $\delta$  et  $\varepsilon$  tel que  $\vec{\lambda} = \partial_u$  près de  $\{1 - \delta \le y \le 1, 0 \le u \le \varepsilon\}$ , mais seule la condition indiquée sera utilisée et aura son analogue à chaque étape du prolongement.

Concernant l'orientation de l'axe des y, on voit que  $\lambda(\partial_y) > 0$  sur les domaines indiqués. En effet, le long de  $\{u = 0\}$ , cela revient à  $\lambda(\overrightarrow{du}) < 0$  ou encore  $\omega(\overrightarrow{\lambda}, \overrightarrow{du}) < 0$ , ce qui se lit  $du(\partial_u) > 0$ , qui est vrai. La même conclusion vaut sur les autres niveaux de u au voisinage de  $\{y = 1 - \delta, 0 \le u \le \varepsilon\}$ , puisque le flot du champ de Liouville  $\partial_u$  préserve  $\lambda$  à un facteur positif près.

Maintenant  $\delta$  est fixé. La condition suivante sur  $\varepsilon$  est relative aux caractéristiques de  $\{y=1-\delta\}$ : comme cette hypersurface est transversale aux caractéristiques de  $\{u=0\}$ , ses propres caractéristiques sont transversales aux niveaux de u de valeurs voisines de 0. Donc pour  $\varepsilon$  assez petit on a:

toute caractéristique de 
$$\{y = 1 - \delta\}$$
 allant de  $\{u = 0\}$  à  $U_0 \times \{1 - \delta\} \times [0, \epsilon]$  vient d'un point de  $U_1 \times \{1 - \delta\} \times \{0\}$  (Figure 1). (10)

Pour  $\varepsilon$  assez petit et quitte à changer les verticales sauf au voisinage du bord de M et de l'infini, on peut encore satisfaire à la condition suivante:

Il existe un cylindre de Darboux propre 
$$\tilde{B} \subset \{1 - \delta < y < 1, u \ge 0\}$$
 dont la base  $\tilde{\Delta}$  dans  $\{u = 0\}$  intersecte en un unique intervalle toutes les caractéristiques de  $\{u = 0\}$  qui ne sont pas contenues dans  $U_0 \times [0, 1] \times \{0\}$ . (11)

En effet on prend la bande caractéristique donnée par  $(H_4)$ . Par une isotopie hamiltonienne à support compact on déplace chaque point de  $\Delta$  sur sa propre

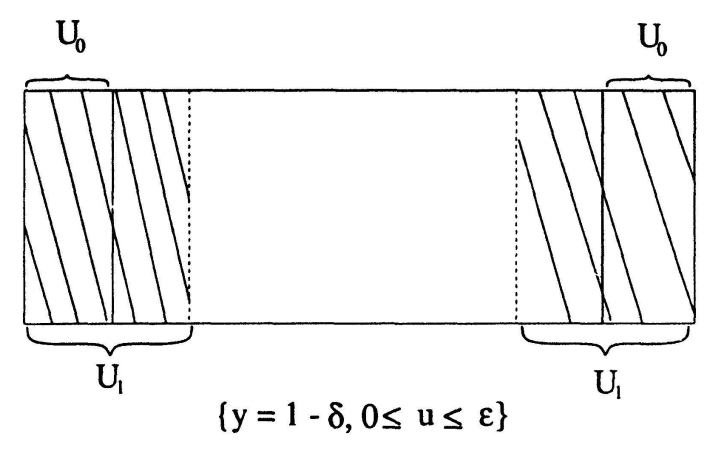


Figure 1

caractéristique dans  $\{u=0\}$  jusqu'à ce qu'on ait  $\Delta \subset \{y>1-\delta\}$ . On procède alors comme dans la preuve de 2.7: on change les verticales sauf au voisinage du bord de M et de l'infini de sorte que B soit contenu dans  $\{y>1-\delta\}$ . Si  $\varepsilon$  est assez petit,  $\partial_u$  n'est pas changé dans  $\{u \le \varepsilon\}$  et les conditions (9)-(10) sont préservées.

Remarque. En fait  $\tilde{B}$  peut être choisi normal, mais on n'insiste plus sur cette propriété qui ne sert en fait que pour l'argument 2.7.

3.2 LEMME. Il existe un hamiltonien  $H: M \to \mathbb{R}$  dont le champ de Liouville associé  $X = \overrightarrow{\lambda} + \overrightarrow{dH}$  a les propriétés suivantes:

$$H = 0 \text{ près de } U_1 \times [0, 1] \times \{0\} \text{ et de } \{y = 0, u = 0\};$$
 (12)

$$X \cdot u > 0 \text{ et } H \ge 0 \text{ le long de } \{0 \le y \le 1, u = 0\};$$
 (13)

 $X \cdot y = 0$  le long de  $\{y = 1 - \delta, 0 \le u \le \varepsilon\}$ 

et 
$$H(x, 1 - \delta, u) = 0$$
 si  $x \in U_0, u \in [0, \varepsilon];$  (14)

$$X \cdot u = 1 \text{ près de } \{ y = 1 - \delta, 0 \le u \le \varepsilon \}. \tag{15}$$

Preuve. Sur  $\{u=0\}$ , la condition  $X \cdot u > 0$  revient à  $\overrightarrow{du} \cdot H < \overrightarrow{\lambda} \cdot u$ . Ecrivant  $\partial_y = -\alpha \overrightarrow{du}$  avec  $\alpha > 0$ , la condition s'écrit  $\partial_y \cdot H > -\alpha \overrightarrow{\lambda} \cdot u$ . On peut renforcer cette condition en demandant en plus:  $\partial_y \cdot H \geq 0$  et  $\partial_y \cdot H = 0$  près de  $\{y=0\}$ , de  $\{y=1-\delta\}$  et de  $U_1 \times [0,1]$  dans  $\{u=0\}$ . Autrement dit, on peut construire  $H_{|\{u=0\}}$  satisfaisant (12)-(13) en lui demandant d'être nulle près de  $\{y=0\}$  et de croîte suffisamment vite avec y. Dans la suite on choisit un tel H sur  $\{u=0\}$ .

Comme  $\partial_u = \vec{\lambda}$  le long de  $\{y = 1 - \delta, 0 \le u \le \varepsilon\}$ , (14) revient à  $\vec{dH} \cdot y = 0$  ou  $\vec{dy} \cdot H = 0$ . Autrement dit, H doit être constant le long de chaque caractéristique de

 $\{y=1-\delta, 0 \le u \le \varepsilon\}$ . Alors, si un tel segment caractéristique  $\gamma$  vient de  $\{u=0\}$ ,  $H_{|\gamma}$  est déterminé par la valeur qui lui est attribuée dans l'étape précédente. A cause de (10), si  $\lambda$  aboutit dans  $U_0 \times [1-\delta] \times [0, \varepsilon]$ ,  $H_{|\gamma}$  est nul. On complète la construction de  $H_{|\{y=1-\delta, 0 \le u \le e\}}$  en prenant H=0 le long des autres caractéristiques; alors (14) est satisfaite.

La condition (15) revient à  $d\vec{u} \cdot H = 0$ , ce qui est facile à satisfaire à partir

$$H_{|\{y=1-\delta, 0 \le u \le \varepsilon\}}$$
 puisque  $\overrightarrow{du}$  est transversal à  $\{y=1-\delta, 0 \le u \le \varepsilon\}$ . cqfd

Remarque. Si les conditions (9)-(15) sont satisfaites, elles le sont encore si on diminue  $\varepsilon$ , sans toucher ni à  $\delta$  ni à H. Compte tenu de cette remarque une dernière condition de petitesse sera imposée à  $\varepsilon$  en 3.10 (21). Son énoncé nécessite d'autres préliminaires.

### 3.3 Un champ de vecteurs Z

On fixe une fois pour toutes un champ de vecteurs Z sur un voisinage de  $\{y \le 1 - \delta\}$  égal au champ de Liouville X (donné par 3.2) au voisinage de  $\{u = 0\} \cup \{y = 1 - \delta, 0 \le u \le \varepsilon\}$  et vérifiant les hypothèses additionnelles suivantes:

Z est tangent à 
$$\{y = 1 - \delta\}$$
 et  $Z \cdot u = 1$  au voisinage de  $\{y = 1 - \delta\}$ ; (16)

$$Z = \partial_u$$
 près de  $\partial S \times [0, +\infty)$  dans  $\{0 \le y \le 1 - \delta\}$  et au voisinage de l'infini. (17)

On note  $\zeta'$  le flot de Z et on rappelle que T' est le flot de  $\partial_n$ . On va utiliser  $\zeta'$  pour obtenir une "solution naïve" du problème de prolongement pour  $0 \le t \le \varepsilon$ . Cette "solution" présente une discontinuité le long de  $\{y = 1 - \delta\}$  qui sera résorbée par une technique de *chirurgie* (coupure et recollement). On verra ensuite sous quelle condition la même procédure peut être appliquée pour  $\varepsilon \le t \le 2\varepsilon$ , etc. . .

#### 3.4 Un prolongement naïf

Pour  $0 \le t \le \varepsilon$ , on pose

$$\tilde{\omega}_1(t) = e^t \zeta_*^t \omega \quad \text{sur} \{0 \le y \le 1 - \delta\},\tag{18}$$

$$\tilde{\omega}_2(t) = e^t T_*' \omega \quad \text{sur} \{1 - \delta \le y \le 1, u \le \varepsilon\}. \tag{19}$$

La formule (18) définit bien  $\tilde{\omega}_1(t)$  sur  $\zeta'(\{0 \le y \le 1 - \delta\})$ . Mais comme Z est un champ de Liouville au voisinage de  $\{u = 0\}$ ,  $\tilde{\omega}_1(t)$  se prolonge canoniquement sur la partie manquante (voir (4)). La même remarque doit être faite pour la formule (19). Par ces formules on a  $\tilde{\omega}_1(t) = \omega = \tilde{\omega}_2(t)$  au voisinage de  $\{y = 1 - \delta, 0 \le u \le \varepsilon\}$ ; cependant, les formules (18) et (19) ne se recollent pas le long de  $\{y = 1 - \delta, u \ge \varepsilon\}$ , excepté à l'infini.

On va résorber cette discontinuité seulement pour  $t = \varepsilon$ ; cela pourrait être fait de la même façon pour  $0 \le t \le \varepsilon$ . On observe d'abord que les formes induites sur  $\{y = 1 - \delta, u \ge \varepsilon\}$  par  $\tilde{\omega}_1(\varepsilon)$  et  $\tilde{\omega}_2(\varepsilon)$  sont conjuguées: la seconde est l'image directe de la première par

$$\Phi := T^{\varepsilon} \circ \zeta^{-\varepsilon} | \{ y = 1 - \delta, u \ge \varepsilon \},$$

qui d'après (15) et (16) est bien un difféomorphisme de cette hypersurface. De plus la restriction  $\phi$  de  $\Phi$  à  $\{y = 1 - \delta, u = \varepsilon\}$  est l'extrémité d'une isotopie partant de l'identité,

$$\phi^t = T^t \circ \zeta^{-t}, \qquad 0 \le t \le \varepsilon,$$

qui est hamiltonienne pour la forme symplectique induite par  $\omega$ . D'ailleurs on peut vérifier, ce qui ne servira pas dans la suite, que le hamiltonien correspondant est la fonction  $-e^t H \circ T^{-t}$ , négative on nulle.

On préfèrera utiliser une isotopie hamiltonienne légèrement différente; on prendra  $\phi^t$  allant de Id à  $\phi$  et stationnaire pour t voisin de 0 et de  $\varepsilon$ . Par exemple si  $\alpha: [0, \varepsilon] \to [0, \varepsilon]$  est une fonction croissante telle que  $\alpha(t) = 0$  près de 0 et  $\alpha(t) = \varepsilon$  près de  $\varepsilon$ , on prendra

$$\phi^t = T^{\alpha(t)} \circ \zeta^{-\alpha(t)}.$$

Son hamiltonien  $K_t = -\alpha'(t)e^t H \circ T$ , ( $\leq 0$ ), vu comme une fonction définie sur D, est nul pour t voisin de 0 et de  $\varepsilon$  et aussi pour  $x \in U_0$  d'après (14).

#### 3.5 Graphe d'un hamiltonien

On considère le cylindre de Darboux  $\tilde{B}$  donné par (11). Son image  $T^{\varepsilon}(\tilde{B})$  est un cylindre de Darboux pour la forme  $\tilde{\omega}_{2}(\varepsilon)$ . Soit  $(x', \tau, v)$  un système de coordonnées de Darboux sur  $T^{\varepsilon}(\tilde{B}) \cong \Delta \times [0, \varepsilon] \times [0, +\infty)$  (noter que le  $\tau$ -intervalle peut être choisi arbitrairement). Sa base  $\{v=0\}$  est contenue dans  $\{u=\varepsilon\}$  et l'espace réduit  $\Delta$  est muni d'une forme symplectique que l'on peut identifier (en suivant les

caractéristiques de  $\{u = \varepsilon\}$ ) à la forme  $\omega_0^{\varepsilon}$  induite par  $\tilde{\omega}_2(\varepsilon)$  sur  $\{y = 1 - \delta, u = \varepsilon\}$ . Le vecteur  $\partial_v$  dirige les caractéristiques de  $\{\tau = const\}$  et, le long de  $\{v = 0\}$ , il pointe vers  $\{u > \varepsilon\}$ . On choisit  $\partial_\tau$  de sorte que le long de  $\{v = 0\}$  il oriente les caractéristiques de  $\{u = \varepsilon\}$  dans le même sens que du. A priori  $\tilde{\omega}_2(\varepsilon)(\partial_v, \partial_\tau) = \pm 1$ . Comme  $\tilde{\omega}_2(\varepsilon)(\partial_u, du) = -1$ , on déduit que  $\tilde{\omega}_2(\varepsilon)(\partial_v, \partial_\tau) = -1$  et donc sur  $T^{\varepsilon}(\tilde{B})$  on a

$$\tilde{\omega}_2(\varepsilon) = \omega_0^{\varepsilon} + d\tau \wedge dv.$$

On note  $\Sigma$  le graphe du hamiltonien, c'est-à-dire l'hypersurface de  $\{1-\delta \le y \le 1, u \ge \varepsilon\}$  définie par l'équation

$$v = -K_{\tau}(x')$$

dans  $T^{\varepsilon}(\tilde{B})$  et par  $u = \varepsilon$  en dehors.

Remarque. Si on ne connaît pas le signe du hamiltonien, on considère le cylindre doublement infini  $T^{\varepsilon}(\tilde{B})^{0} \cong \Delta \times [0, \varepsilon] \times R$  et  $\Sigma$  est alors une hypersurface de  $\{1 - \delta \leq y \leq 1, u \geq \varepsilon\} \cup T^{\varepsilon}(\tilde{B})^{0}$ .

LEMME. Le difféomorphisme d'holonomie  $\Delta \times \{0\} \times \{0\} \to \Delta \times \{\epsilon\} \times \{0\}$  obtenu en suivant les caractéristiques de  $\Sigma$  est donné par  $\phi^{\epsilon}$ , si on identifie la source et le but à la même boule de l'espace réduit.

Preuve. On rappelle que le générateur infinitésimal de  $\phi^{\tau}$  est  $\overrightarrow{dK}_{\tau}$ . Il s'agit de voir que les caractéristiques de  $\Sigma$  se projettent (dans les coordonnées de Darboux) sur les graphes dans  $\Delta \times [0, \varepsilon]$  des solutions de l'équation différentielle  $\dot{x}' = \overrightarrow{dK}_{\tau}(x')$ , ou encore que  $\overrightarrow{dK}_{\tau} + \partial_{\tau}$  dirige le noyau de  $\omega_0^{\varepsilon} - d\tau \wedge dK_{\tau}$  dans  $\Delta \times [0, \varepsilon]$ . Or

$$i(\overrightarrow{dK_{\tau}} + \partial_{\tau})(\omega_0^{\varepsilon} - d\tau \wedge dK_r) = i(\overrightarrow{dK_{\tau}})\omega_0^{\varepsilon} - dK_{\tau} = 0.$$
 cqfd

### 3.6 Chirurgie

On prolonge le difféomorphisme de conjugaison  $\Phi$  de  $\{y = 1 - \delta, u \ge \varepsilon\}$  en un difféomorphisme, noté encore  $\Phi$ , de  $\{1 - \delta \le y \le 1, u = \varepsilon\}$  sur  $\Sigma$  avec les propriétés suivantes:

- (i)  $\Phi$  envoie les caractéristiques de  $\{u = \varepsilon\}$  sur celles de  $\Sigma$  pour la forme  $\tilde{\omega}_2(\varepsilon)$ ;
- (ii)  $\Phi$  est l'identité au voisinage de  $\{y = 1\}$ ;
- (iii)  $\Phi = T^{\epsilon} \circ \zeta^{-\epsilon}$  au voisinage de  $\{y = 1 \delta\}$ .

D'après (15), la dernière formule opère bien de  $\{u = \varepsilon\}$  dans lui-même au voisinage de  $\{y = 1 - \delta\}$ . Ce difféomorphisme se prolonge en un germe de symplectomorphisme pour la forme  $\tilde{\omega}_2(\varepsilon)$  d'un voisinage de  $\{1 - \delta \le y \le 1, u = \varepsilon\}$  sur un voisinage de  $\Sigma$ . On peut pour cela invoquer un argument général de Givental (voir [Be]) ou vérifier que, dans les coordonnées de Darboux,

$$(x', \tau, v) \mapsto (\phi^{\tau}(x'), \tau, v - K_{\tau}(x'))$$

est un difféomorphisme symplectique.

On pose  $M'_g = \{0 \le y \le 1 - \delta\}$  que l'on munit de la forme symplectique  $\tilde{\omega}_1(\varepsilon)$ . On pose  $M'_d = \{1 - \delta \le y \le 1, 0 \le u \le e\}$  que l'on munit de la forme  $\tilde{\omega}_2(\varepsilon)$ . Au voisinage de  $M'_g \cap M'_d$ , on a  $\tilde{\omega}_1(\varepsilon) = \omega = \tilde{\omega}_2(\varepsilon)$ . Donc  $M' = M'_g \cup M'_d$  est muni d'une forme symplectique. Enfin on note M'' la partie de  $\{1 - \delta \le y \le 1, u \ge \varepsilon\} \cup T^{\varepsilon}(\tilde{B})^0$  au-dessus de  $\Sigma$ , que l'on munit de la forme  $\tilde{\omega}_2(\varepsilon)$ .

La chirurgie consiste à couper M le long de  $\{y = 1 - \delta, u \ge \varepsilon\} \cup \{1 - \delta \le y \le 1, u = \varepsilon\}$  et à recoller M' à M'' par le difféomorphisme  $\Phi$ . On pose

$$M(\Phi) = M' \cup_{\Phi} M''$$
.

Les propriétés de  $\Phi$  et de son prolongement comme germe impliquent l'énoncé suivant (Figure 2).

LEMME. De façon naturelle, il existe sur  $M(\Phi)$  une structure différentiable et une forme symplectique  $\tilde{\omega}(\varepsilon)$  telles que:

(a)  $M(\Phi)$  soit difféomorphe à M par un difféomorphisme qui est l'identité au voisinage du bord et de l'infini;

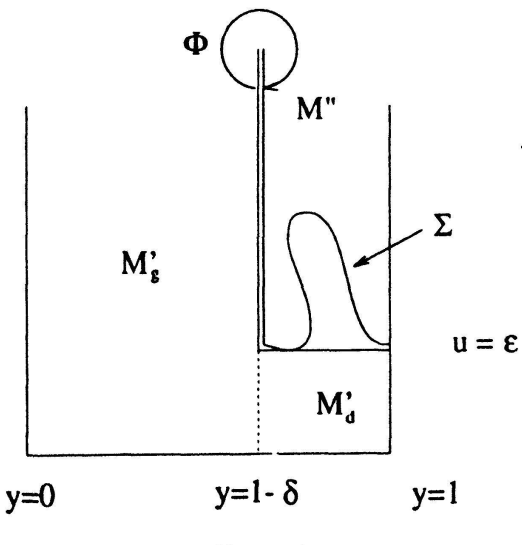


Figure 2

(b) par la projection  $M' \sqcup M'' \to M(\Phi)$ , la forme  $\tilde{\omega}(\varepsilon)$  induise  $\tilde{\omega}_1(\varepsilon)$  sur  $M'_g$  et  $\tilde{\omega}_2(\varepsilon)$  sur  $M'_d \cup M''$ .

Si on identifie M et  $M(\Phi)$  par ce difféomorphisme, on obtient la forme cherchée  $\tilde{\omega}(\varepsilon)$  sur M qui coïncide avec  $e^{\varepsilon}T_{*}^{\varepsilon}\omega$  près de  $\partial M \cap \{u > 0\}$  et avec  $\omega$  près de  $\{u = 0, +\infty\}$ . La chirurgie a résorbé la discontinuité du prolongement naïf.

#### 3.7 Peut-on faire la seconde étape $\varepsilon \leq t \leq 2\varepsilon$ ?

Sur la partie gauche  $\{y \le 1 - \delta\}$ , on continue avec la formule (18)  $\tilde{\omega}_1(t) = e^t \zeta_*^t \omega$ . Vu au voisinage de  $\{y = 1 - \delta\}$  dans M'', le champ utilisé pour ce prolongement est  $\Phi_* Z = T_*^{\epsilon} Z$ . Il est de Liouville au voisinage de  $\{y = 1 - \delta, \epsilon \le u \le 2\epsilon\}$  pour la forme  $\tilde{\omega}_2(\epsilon)$ . Le champ  $\partial_u$  a aussi cette propriété. De plus les champs  $\Phi_* Z$  et  $\partial_u$  coïncident au voisinage de  $U_0 \times \{1 - \delta\} \times [\epsilon, 2\epsilon]$  d'après (14).

D'autre part,  $(M'', \tilde{\omega}_2(\varepsilon))$  contient un cylindre de Darboux propre dont la base recontrent toutes les caractéristiques de  $\Sigma$  qui ne sont pas contenues dans  $U_0 \times [1-\delta, 1] \times \{\varepsilon\}$ , à savoir la partie de  $T^{\varepsilon}(\tilde{B})^0$  au-dessus de  $\Sigma$ . Tout est donc comme dans la figure initiale, sauf que l'on ne sait pas s'il existe un champ qui jouerait sur M'' le rôle joué par  $\partial_u$  sur  $\{1-\delta \le y \le 1, u \ge 0\}$ . Ou encore, on ne sait pas s'il existe un champ de Liouville pour  $\tilde{\omega}_2(\varepsilon)$  transverse à  $\Sigma$  et coïncidant avec  $\partial_u$  au voisinage de  $U_0 \times [1-\delta, 1] \times \{\varepsilon\}$  et de  $\{y=1-\delta \text{ ou } 1, u=\varepsilon\}$ . On va contourner cette difficulté en se fondant sur la remarque suivante.

Remarque. A priori la classe d'isotopie de  $\tilde{\omega}(\varepsilon)$  dépend du choix qui a été fait pour l'isotopie hamiltonienne de l'identité à  $\phi$  à travers les difféomorphismes symplectiques de  $(D, \omega_0^{\varepsilon})$  coïncidant avec l'identité au voisinage de  $U_0$ . Par un argument à la Moser, cette question dépend de savoir si l'espace de ces difféomorphismes symplectiques est simplement connexe; cette question est ouverte. Devant cette ignorance, on part à la recherche d'une isotopie hamiltonienne qui nous convienne. Pour cela on tire profit du lemme de fragmentation de Banyaga [Ba, III.2] (voir aussi l'appendice).

# 3.8 Enoncé de lemme de fragmentation

On considère la boule standard  $(D, \omega_0)$  dans  $(\mathbb{R}^{2n-2}, standard)$  et son voisinage collier  $U_0$ . Soit G le groupe des difféomorphismes symplectiques de  $(D, \omega_0)$ , coïncidant avec l'identité au voisinage de  $U_0$ . On se donne des domaines

 $A_0, \ldots, A_{2n-2}$ , dits domaines de fragmentation, dont les intérieurs forment un recouvrement de  $\overline{D-U_0}$ . Alors il existe un  $C^{\infty}$ -voisinage de l'identité dans G dans lequel tout élément  $\phi$  peut être fragmenté, c'est-à-dire être écrit comme le produit de 2n-1 diffeomorphismes symplectiques

$$\phi = \phi_0 \circ \cdots \circ \phi_{2n-2},$$

où chaque  $\phi_k$  est le temps 1 d'une isotopie hamiltonienne à support dans  $\operatorname{int}(A_k \cap (D-D_0))$ .

Il ne faut pas penser que les  $A_k$  sont connexes. Au contraire un procédé classique pour se donner les  $A_k$  consiste à partir d'une triangulation  $\mathcal{F}$  d'un voisinage de  $\overline{D}-\overline{U_0}$  dans int D. A chaque k-simplexe  $\sigma_i$  on associe une anse  $A_{k,i}$  d'indice k qui recouvre la partie de  $\sigma_i$  non couverte par les anses d'indice inférieur; la construction des anses se fait par récurrence sur k et, pour  $i \neq j$ ,  $A_{k,i} \cap A_{k,j} = \emptyset$  (voir [Ba, p. 200]). On prend alors pour  $A_k$  la réunion des anses d'indice k. Par ce procédé, si la triangulation  $\mathcal{F}$  est assez fine on peut rendre le diamètre (euclidien) des composantes connexes  $A_{k,i}$  de  $A_k$  arbitrairement petit.

#### 3.9 Choix des domaines de fragmentation

DÉFINITION. Soit  $(\hat{A}, \hat{a})$  une (2n-2)-boule symplectique pointée dans  $\{1-\delta \leq y \leq 1, u=0\}$  dont la projection par la réduction est un domaine (A, a) de D, étoilé par rapport à a. Soit  $\lambda_{\hat{A}}$  la forme de Liouville induite par  $\lambda$  sur  $\hat{A}$  et soit  $\hat{\lambda}_{\hat{A}}$  le champ de Liouville dual pour la structure symplectique de  $\hat{A}$ . On dira que  $(\hat{A}, \hat{a})$  est  $\lambda$ -standard si  $\hat{\lambda}_{\hat{A}}$  se projette sur le champ de Liouville linéaire radial de  $(A, a), \frac{1}{2}\Sigma(x_i - a_i)\partial_{x_i}$ , où  $(x_i)$  (resp.  $(a_i)$ ) sont les coordonnées euclidiennes de x (resp. de a) dans  $\mathbf{R}^{2n-2}$ .

Le lemme suivant montre qu'il existe beaucoup de boules  $\lambda$ -standard. Pour l'énoncer sous la forme qui sera utile, il convient d'introduire une nouvelle constante géométrique de la figure.

On définit 
$$\theta_0 > 0$$
 comme la borne inférieure des longueurs, mesurées par  $|\lambda|$ , des caractéristiques complètes de  $\{1 - \delta \le y \le 1, u = 0\}$ . (20)

Notant  $\Theta$  le flot de  $-\vec{du}$  et sachant que  $\lambda(-\vec{du}) = +1$ , on voit que  $\Theta$  est bien défini sur  $\{y = 1 - \delta, u = 0\} \times [0, \theta_0]$ , à valeurs dans  $\{u = 0\}$ ; son image est munie de coordonnées  $(x, \theta) \in D \times [0, \theta_0]$ , où  $\theta$  est le temps du flot et où  $\{y = 1 - \delta, u = 0\}$ 

est identifié à l'espace réduit D. On va fractionner la longueur  $\theta_0$  en 4n(2n-1) parties égales; la raison pour cet entier apparaîtra plus loin.

LEMME. Il existe r > 0 tel que, pour toute boule euclidienne (A, a) centrée en un point a de  $\overline{D - U_0}$  et de rayon < r, il existe un relèvement  $\lambda$ -standard

$$(\hat{A},\hat{a}) \subset \left\{ u = 0, 0 < \theta < \frac{\theta_0}{4n(2n-1)} \right\}.$$

Preuve. Soit  $\lambda_0$  la forme de contact induite par  $\lambda$  sur  $\{u=0, 0 \le \theta \le \theta_0/4n(2n-1)\}$ . Comme  $-\overrightarrow{du}$  est le champ de Reeb de  $\lambda_0$  on peut écrire

$$\lambda_0 = \sum \alpha_i(x) dx_i + d\theta,$$

Comme  $d\lambda_0 = \sum dx_{2j+1} \wedge dx_{2j+2}$ , pour tout  $a \in \overline{D-U_0}$  il existe une fonction  $h_a$ , unique à une constante additive près, vérifiant l'identité

$$\sum \alpha_i(x) \ dx_i + dh_a(x) = \frac{1}{2} \sum \left[ (x_{2j+1} - a_{2j+1}) \ dx_{2j+2} - (x_{2j+2} - a_{2j+2}) \ dx_{2j+1} \right].$$

Soit C une constante de Lipschitz uniforme pour  $h_a$ ,  $a \in \overline{D - U_0}$ . On prend

$$r = \frac{\theta_0}{8n(2n-1)C}.$$

On définit alors  $\hat{A}$  par:  $\theta = h_a(x)$ ,  $x \in A$ . Si on choisit  $h_a(a) = \theta_0/8n(2n-1)$ ,  $\hat{A}$  est bien dans la région prescrite.

Remarques. (1) La  $\theta$ -translation laisse aux boules leur caractère  $\lambda$ -standard. Donc on peut également prendre

$$\hat{A} \subset \left\{ \frac{k\theta_0}{4n(2n-1)} < \theta < \frac{(k+1)\theta_0}{4n(2n-1)} \right\}.$$

(2) Le lemme vaut aussi lorsque (A, a) est seulement un domaine étoilé de rayon < r.

On note  $\Delta_0$  la projection de  $\Delta$  dans l'espace réduit, où, rappelons-le,  $\Delta$  est la base de la bande caractéristique donnée par (11). On choisit une triangulation  $\mathcal{F}$  d'un voisinage de  $\overline{D-U_0}$  dans int  $\Delta_0$ , où le diamètre de chaque simplexe est <2r.

Pour chaque simplexe  $\sigma$  de  $\mathcal{F}$ , de barycentre  $a(\sigma)$ , on associe une anse  $A(\sigma)$  étoilée par rapport à  $a(\sigma)$ . Si  $\sigma$  et  $\sigma'$  sont de même dimension,  $A(\sigma) \cap A(\sigma') = \emptyset$ . Enfin la réunion des anses  $A(\sigma)$  associées aux cellules de dimension  $\leq k$  recouvre le k-squelette de  $\mathcal{F}$ . Soit  $A_k$  la réunion des  $A(\sigma)$  avec dim  $\sigma = k$ . Les  $A_k$  sont les domaines de fragmentation cherchés.

On note  $(\hat{A}(\sigma), \hat{a}(\sigma))$  le relèvement  $\lambda$ -standard de  $(A(\sigma), a(\sigma))$  dans  $\{u = 0\}$ , où la  $\theta$ -coordonnée de  $\hat{a}(\sigma)$  ne dépend que de la dimension k de  $\sigma$  et est donnée par

$$\theta(k) = \frac{(k+1/2)}{4n(2n-1)} \theta_0.$$

On note  $\hat{A}_k$  la réunion des  $\hat{A}(\sigma)$  où  $\sigma$  parcourt l'ensemble des simplexes de dimension k (Figure 3).

## 3.10 Utilisation des domaines de fragmentation pour la première étape

LEMME. Les  $\hat{A}_k$  sont les bases de bandes caractéristiques propres  $B_k$  dans  $(\{y \ge 1 - \delta\}, \omega)$ , mutuellement disjointes et disjointes de B, et tangentes à  $\partial_u$  au voisinage de la base.

Preuve. Soit  $(x', \tau, v)$  des coordonnées de Darboux pour le cylindre  $\tilde{B}$  donné par (11). Le lemme est évident si on remplace  $\hat{A}_k$  par un relèvement  $A'_k$  de  $A_k$  dans  $\{\tau - \tau(k)\}$ , où  $\tau(k)$  est une constante ne dépendant que de k, avec  $\tau(0) > \tau(1) > \cdots > \tau(2n-2)$ , l'axe des  $\tau$  étant orienté dans le même sens que du. Or  $\cup \hat{A}_k$  se déduit de  $\cup A'_k$  par glissement le long des caractéristiques de  $\{u = 0\}$ ,

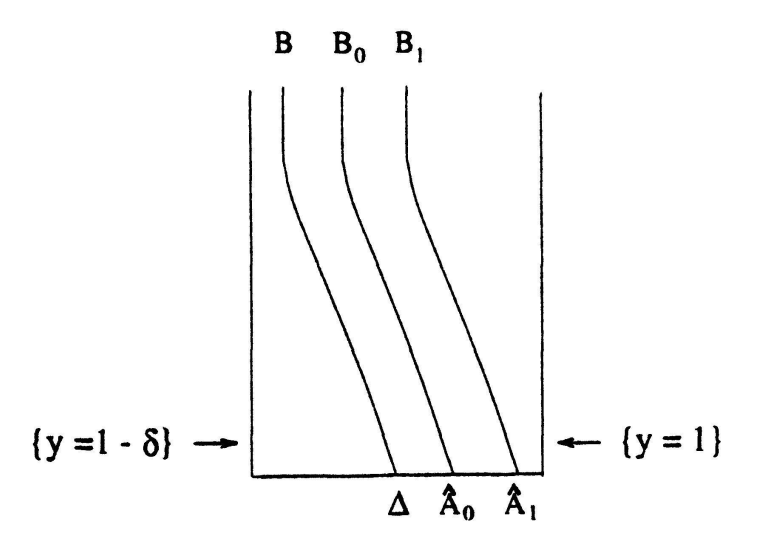


Figure 3

c'est-à-dire par une isotopie (hamiltonienne) qui déplace chaque point sur sa propre caractéristique. La base étant fixée, le germe de la bande caractéristique au voisinage de la base peut être choisi arbitrairement, à condition d'être transversal à  $\{u=0\}$ ; cela permet de satisfaire la dernière condition.

On considère de nouveau le difféomorphisme  $\phi^{\varepsilon} = T^{\varepsilon} \circ \zeta^{-\varepsilon}$  de  $\{y = 1 - \delta, u = \varepsilon\}$ . Le difféomorphisme  $T^{-\varepsilon}\phi^{\varepsilon}T^{\varepsilon}$  peut être vu comme un difféomorphisme symplectique de l'espace réduit de  $\{u = 0\}$  à support dans  $D - U_0$ . Voici enfin la dernière condition de petitesse imposée à  $\varepsilon$ . D'après le lemme de Banyaga, pour  $\varepsilon$  assez petit:

$$T^{-\varepsilon}\phi^{\varepsilon}T^{\varepsilon}$$
 est fragmentable relativement à la famille des domaines  $A_k$ . (21)

On fixe définitivement un tel  $\varepsilon$  et on écrit

$$T^{-\varepsilon}\phi^{\varepsilon}T^{\varepsilon}=\phi_0\circ\cdots\circ\phi_{2n-2},$$

où  $\phi_k$  est isotope à l'identité avec un hamiltonien  $h_k: A_k \times [0, 1] \to \mathbb{R}$  à support dans l'intérieur de  $(A_k \cap (D - U_0)) \times [0, 1]$ .

Soit  $\tilde{B}_k$  un cylindre de Darboux pour  $\omega$  d'âme  $B_k$  et de base dans  $\{u=0\}$ ; les  $\tilde{B}_k$  sont choisis mutuellement disjoints. On obtient  $\tilde{B}_k$  à partir de  $B_k$  en l'épaississant au moyen d'un champ hamiltonien qui lui est transversal. Pour la suite, on impose qu'au voisinage de la base,

$$\tilde{B}_k$$
 s'obtienne en appliquant le flot de  $\rho du$ , où  $\rho$  est une constante assez petite pour que le flot existe sur l'intervalle de temps  $[-1, +1]$ . (22)

Sur l'image  $T^{\varepsilon}(\tilde{B}_{k})$  on a des coordonnées de Darboux  $(\hat{x}, \hat{\tau}, \hat{v}) \in A_{k} \times [-1, 1] \times [0, +\infty)$  qui s'étendent au cylindre doublement infini  $T^{\varepsilon}(\tilde{B}_{k})^{0}$ , dont la partie  $\{\hat{v} < 0\}$  est extérieure à  $\{u \geq \varepsilon\}$ . On convient aussi que  $\partial_{\hat{\tau}}$  dirige les caractéristiques de  $\{u = \varepsilon\}$  dans le même sens que du, que l'âme  $\{\hat{\tau} = 0\}$  est  $T^{\varepsilon}(B_{k})$  et qu'au voisinage de la base on a

$$\hat{v} = \rho(u - \varepsilon). \tag{23}$$

Comme en 3.5, on a dans chacun des cylindres de Darboux

$$\tilde{\omega}_2(\varepsilon) = \omega_0^{\varepsilon} + d\hat{\tau} \wedge d\hat{v}.$$

On définit l'hypersurface  $\Sigma$  de  $\{1 - \delta \le y \le 1, u \ge \varepsilon\} \cup T^{\varepsilon}(\tilde{B}_{0})^{0} \cup \cdots \cup T^{\varepsilon}(\tilde{B}_{2n-2})^{0}$ 

par l'équation

$$\hat{v} = -h_k \tag{24}$$

dans le k-ième cylindre de Darboux et, en dehors de ces cylindres,  $\Sigma$  coïncide avec  $\{u = \varepsilon\}$ . L'holonomie globale de  $\Sigma$  est bien le difféomorphisme  $\phi^{\varepsilon}$ . On peut donc procéder à la chirurgie comme en 3.6. Cela achève la première étape et va permettre la poursuite du prolongement sans toucher à  $\varepsilon$ .

### 3.11 En vue de la seconde étape $\varepsilon \le t \le 2\varepsilon$

On rapelle que  $(M, \tilde{\omega}(\varepsilon))$  est présentée en deux morceaux M' et M'' et que l'on a  $\Sigma \subset \partial M''$ . Par 3.10,  $T^{\varepsilon}(B)$  est contenu dans M''; c'est une bande caractéristique pour  $\tilde{\omega}(\varepsilon)$  dont la base coupe toutes les caractéristiques de  $\Sigma$  non contenues dans  $U_0 \times [1 - \delta, 1] \times \{\varepsilon\}$  (comme ici, les coordonnées (x, y, u) ne seront utilisées dans la suite que là où elles ont un sens canonique).

LEMME. Il existe dans M" une hypersurface  $\Sigma'$  munie d'un germe de forme de Liouville  $\lambda'$  pour  $\tilde{\omega}(\varepsilon)$  vérifiant les conditions suivantes:

- (i)  $\Sigma'$  se déduit de  $\Sigma$  par une isotopie dans M'' laissant fixe un voisinage de  $\partial \Sigma$ ;
- (ii) toute caractéristique de  $\Sigma'$  va de  $\{y = 1\}$  à  $\{y = 1 \delta\}$ ;
- (iii)  $\overrightarrow{\lambda}'$  est transverse à  $\Sigma'$  et coïncide avec  $\partial_{\mu}$  au voisinage de  $\partial \Sigma' = \partial \Sigma$ ;
- (iv) l'intégrale de  $\lambda'$  sur toute caractéristique complète de  $\Sigma'$  est  $\geq e^{\varepsilon}\theta_0(1-1/4n)$ , où  $\theta_0$  est défini en (20).

Remarque. On pourrait être tenté de prendre  $\Sigma' = \Sigma$  et  $\lambda' = e^{\varepsilon} T_*^{\varepsilon} \lambda$ . Mais la condition (iii) (première partie) n'a pas de raison d'ètre satisfaite.

Preuve. En dehors des cylindres  $T^{\varepsilon}(\tilde{B}_{k})$ ,  $\Sigma'$  coïncide avec  $\Sigma$  et donc avec  $\{u = \varepsilon\}$ . Dans le k-ième cylindre,  $\Sigma'$  est défini par l'équation

$$\hat{v} = m_k(\hat{x}, \,\hat{\tau}), \, \hat{x} \in A_k, \qquad \hat{\tau} \in [-1, \, +1]$$

où la fonction  $m_k \ge 0$  est choisie comme suit:

- (a)  $m_k \ge -h_k$ , ce qui garantit  $\Sigma' \subset M''$ ;
- (b)  $m_k$  est nulle si  $\hat{x}$  est proche de  $\partial A_k$  ou si  $\hat{\tau}$  est proche de  $\pm 1$ ;
- (c)  $\hat{\tau} \partial_{\hat{\tau}} m_k \leq 0$ ;
- (d) (décroissance radiale à  $\hat{\tau}$  fixé) pour toute composante  $A(\sigma)$  de  $A_k$ , de barycentre  $a(\sigma)$ ,

$$\langle \hat{x} - a(\sigma), \partial_{\hat{x}} m_k \rangle \leq 0.$$

Il n'y a pas de difficulté à trouver une telle fonction. Les conditions (i) et (ii) sont alors satisfaites.

SOUS-LEMME. Sous la condition (23), au voisinage de  $\{\hat{v}=0\}$ , le champ  $\partial_u$  (qui est de Liouville pour  $\tilde{\omega}_2(\varepsilon)$ ) est sous forme normale:

$$\partial_{u} = \frac{1}{2} (\hat{x} - a(\sigma)) \cdot \partial_{\hat{x}} + \hat{\tau} \, \partial_{\hat{\tau}} + \rho \, \partial_{\hat{v}}.$$

Preuve. D'après (23),  $\partial_u = \alpha(\hat{x}, \hat{\tau}, \hat{v}) \partial_{\hat{x}} + \beta(\hat{x}, \hat{\tau}, \hat{v}) \partial_{\hat{\tau}} + \rho \partial_{\hat{v}}$ . Dualement, il vient  $e^{\varepsilon}T^{\varepsilon}_{*}\lambda = \alpha' d\hat{x} + \beta d\hat{v} - \rho d\hat{\tau}$ , où  $\alpha'$  se déduit de  $\alpha$  par la dualité symplectique.

Ecrivons que  $d(e^{\varepsilon}T_*^{\varepsilon}\lambda) = \tilde{\omega}_2(\varepsilon)$  est la forme symplectique canonique dans les coordonnées de Darboux. On obtient que  $\alpha'$  ne dépend pas de  $\hat{\tau}$  et que  $\beta = \hat{\tau} + \beta'(\hat{x}, \hat{v})$ . Comme  $\partial_u$  est tangent à  $\{\hat{\tau} = 0\}$  au voisinage de  $\hat{v} = 0$  (lemme 3.10), on a  $\beta' = 0$ . On déduit alors que  $\alpha'$  est aussi indépendant de  $\hat{v}$ .

Dualement, il en est de même de  $\alpha$ . L'écriture de  $\alpha$  est alors déterminée par l'hypothèse que  $\{\hat{\tau}=0, \hat{v}=0\}$  est standard vis-à-vis de  $e^{t}T_{*}^{t}\lambda$ . Cela termine la preuve du sous-lemme.

La forme de Liouville  $\lambda'$  au voisinage de  $\Sigma'$  est définie hors des cylindres par  $\lambda' = e^{\varepsilon} T^{\varepsilon}_{*} \lambda$  (dans ce cas  $\lambda' = \partial_{u}$ ) et dans les cylindres par

$$\overrightarrow{\lambda'} = \frac{1}{2} \left( \hat{x} - a(\sigma) \right) \cdot \partial_{\hat{x}} + \hat{\tau} \partial_{\hat{\tau}} + \rho \partial_{\hat{v}}. \tag{25}$$

Les conditions (c) et (d) impliquent la transversalité requise en (iii).

Le point (iv) est une estimation grossière qui sera affinée ci-dessous. Notons  $\theta'$  la fonction définie sur  $\{1 - \delta \le y \le 1, u = \varepsilon\}$  comma la distance à  $\{y = 1 - \delta\}$  mesurée le long de ses caractéristiques avec la forme  $e^{\varepsilon}T_{*}^{\varepsilon}\lambda$ . Par définition de  $\theta_{0}$ , toutes ces caractéristiques sont de longueur  $\ge e^{\varepsilon}\theta_{0}$ , et la base  $T^{\varepsilon}(\tilde{B}_{k})$  est contenue dans

$$\left\{\frac{ke^{\varepsilon}\theta_0}{4n(2n-1)} < \theta' < \frac{(k+1)e^{\varepsilon}\theta_0}{4n(2n-1)}\right\}$$

pour k = 0, 1, ..., 2n - 2. Alors toute caractéristique de  $\Sigma'$  court dans  $\{u = \varepsilon\}$  de  $\theta' = e^{\varepsilon}\theta_0/4n$  à  $\theta' = e^{\varepsilon}\theta_0$ .

# 3.12 Analyse de la longueur des caractéristiques de Σ'

On précise le choix des fonctions  $m_k$  et donc le choix de  $\Sigma'$ . Pour cela on note  $A_k^{\prime \varepsilon}$  le domaine de  $\mathbb{R}^{2n-2}$  obtenu en retirant à  $A_k$  un petit collier du bord de sorte

que  $\bigcup_k A_k^{\prime \epsilon}$  contienne  $\overline{D-U_0}$  en son intérieur. La fonction  $m_k$  est alors notée  $m_k^{\epsilon}$  et on impose:

pour 
$$\hat{x} \in A_k^{\ell}$$
,  $m_k^{\ell}(\hat{x}, \hat{\tau})$  est indépendante de  $\hat{x}$ . (26)

On note  $\mathscr{C}_k^{\varepsilon}$  un anneau fermé de int  $A_k$ , collier extérieur de  $A_k^{\varepsilon}$  et contenant tous les points où  $\partial_x m_k^{\varepsilon} \neq 0$ . On note  $\mathscr{C}^{\varepsilon} = \bigcup_k \mathscr{C}_k^{\varepsilon}$ . On note  $U_0^{\varepsilon}$  la composante connexe du complémentaire de  $\mathscr{C}^{\varepsilon}$  dans D contenant  $\partial D$ .

L'espace réduit de  $(\{1 - \delta \le y \le 1, u = \varepsilon\}, \tilde{\omega}_2(\varepsilon))$  est  $(D, e^{\varepsilon} \text{ standard})$  que l'on identifie à  $(\{y = 1 - \delta, u = \varepsilon\}, \omega_0^{\varepsilon})$  (voir 3.5). On repère une caractéristique  $\gamma$  de  $\Sigma'$  pour  $\tilde{\omega}_2(\varepsilon)$  par son extrémité  $e(\gamma)$  dans  $\{y = 1 - \delta, u = \varepsilon\}$ , c'est-à-dire par un point de D;  $l(\gamma)$  désigne la longueur de  $\gamma$  mesurée par  $\lambda'$ .

LEMME. Si 
$$e(\gamma) \in \mathscr{C}^{\varepsilon}$$
, on a  $l(\gamma) \geq e^{\varepsilon}\theta_0(1-1/4n)$ . Sinon, on a  $l(\gamma) \geq e^{\varepsilon}\theta_0$ .

Preuve. Si  $e(\gamma) \in \mathscr{C}^{\varepsilon}$ , on applique le (iv) du lemme 3.11. Si  $e(\gamma) \in U_0^{\varepsilon}$ ,  $\gamma$  est contenue dans  $\{1 - \delta \le y \le 1, u = \varepsilon\}$ ; elle est alors mesurée par  $e^{\varepsilon}T_*^{\varepsilon}\lambda$  et la conclusion est claire. Sinon,  $e(\gamma)$  appartient à au moins l'un des  $A_k^{\varepsilon}$ . Dans ce cas  $\gamma$  est contenu dans  $\{u = \varepsilon\}$ , excepté lors de la traversée des  $T^{\varepsilon}(\tilde{B}_k)$ ; chacune de celles-ci se fait en restant dans  $\hat{x} = const.$  et on a:

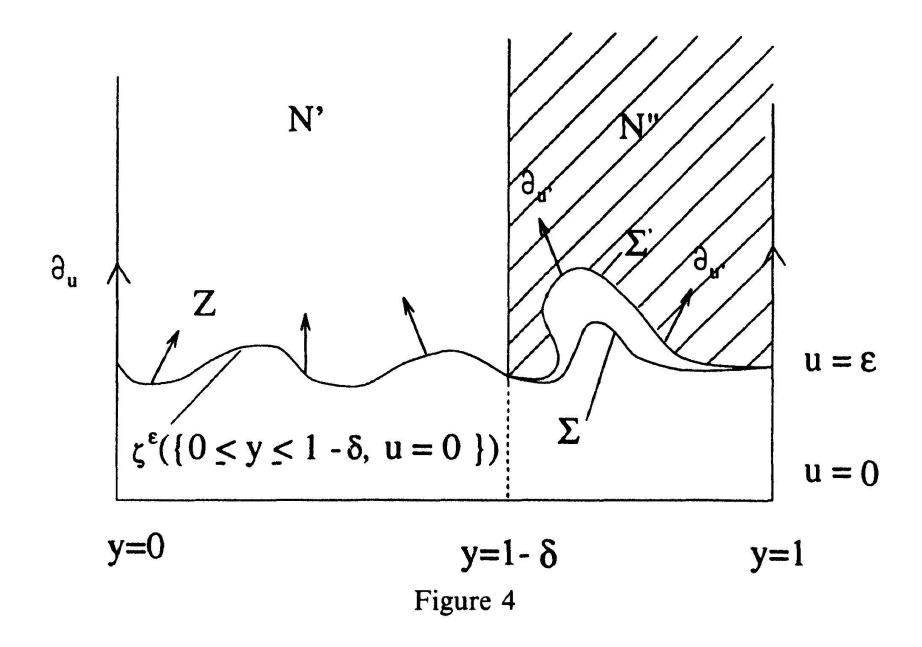
$$\int_{\gamma \cap T^{\iota}(\widetilde{B}_{k})} |\lambda'| = \int_{-1}^{+1} \rho \ d\hat{\tau} + \int_{-1}^{+1} m_{k}^{\varepsilon} \ d\hat{\tau}.$$

Le premier terme est la longueur d'un arc caractéristique de la base de  $T^{\varepsilon}(\tilde{B}_k)$  formant avec  $\gamma \cap T^{\varepsilon}(\tilde{B}_k)$  un lacet et le second terme est l'aire entourée par ce lacet mesurée par  $\omega_2(\varepsilon)$ . On a l'inégalité voulue.

## 3.13 La seconde étape

La variété M'' n'a pas une structure produit canonique. En revanche, d'après 3.11, si on note N'' la partie de M'' au-dessus de  $\Sigma'$ , il existe sur  $N'' \cong D \times [1 - \delta, 1] \times [0, +\infty)$  des coordonnées (x', y', u') avec les propriétés suivantes:

- (i)  $\partial_{u'} = \partial_u$  au voisinage de  $\partial M'' \setminus \Sigma = \partial N'' \setminus \Sigma'$  et en particulier le long de  $\{y = 1 \delta\}$ ;
- (ii)  $\partial_{u'} = \overrightarrow{\lambda'}$  au voisinage de  $\Sigma'$ ;  $\partial_{u'}$  est donc un champ de Liouville pour  $\widetilde{\omega}(\varepsilon)$  au voisinage de  $\Sigma'$  (Figure 4).



Notons  $N' = \zeta^{\varepsilon}(\{0 \le y \le 1 - \delta\})$ . Le champ Z (voir 3.3) est un champ de Liouville pour  $\tilde{\omega}(\varepsilon)$  au voisinage du bord inférieur de N', à savoir  $\zeta^{\varepsilon}(\{0 \le y \le 1 - \delta, u = 0\})$ . A la seconde étape  $(\varepsilon \le t \le 2\varepsilon)$  le prolongement naïf consiste à prendre sur N' (et même au voisinage)

$$\tilde{\omega}_1(t) = e^{t - \varepsilon} \zeta_*^t \tilde{\omega}(\varepsilon), \tag{27}$$

avec la même convention qu'en (4) pour définir  $\tilde{\omega}_1(t)$  sur  $N' \setminus \zeta'(\{0 \le y \le 1 - \delta\})$ , et à prendre sur N''

$$\tilde{\omega}_2(t) = e^{t - \varepsilon} T_*'^t \tilde{\omega}(\varepsilon), \tag{28}$$

où T' est le flot de  $\partial_{u'}$ . En dessous de  $N' \cup N''$ , on garde  $\tilde{\omega}(\varepsilon)$ .

Regardons  $t=2\varepsilon$ . Comme Z (resp.  $\partial_u$ ) est de Liouville pour  $\tilde{\omega}(\varepsilon)$  au voisinage de  $\{y=1-\delta, \varepsilon \leq u \leq 2\varepsilon\}$  (voir 3.7), les deux formes  $\tilde{\omega}_1(2\varepsilon)$  et  $\tilde{\omega}_2(2\varepsilon)$  coïncident avec  $\tilde{\omega}(\varepsilon)$  sur ce voisinage. En revanche, on a une discontinuité de la structure symplectique le long de  $\{y=1-\delta, u \geq 2\varepsilon\}$ . Vu au voisinage de  $\{y=1-\delta, u \geq \varepsilon\}$  dans (la carte) N'', le champ Z, générateur de  $\zeta$ , se lit  $T^{\varepsilon}_*Z$ . Donc au voisinage de  $\{y=1-\delta, u \geq 2\varepsilon\}$  dans N'', on a:

$$\tilde{\omega}_1(2\varepsilon) = e^{\varepsilon} (T^{\varepsilon} \zeta^{\varepsilon} T^{-\varepsilon})_* \tilde{\omega}(\varepsilon)$$

$$\tilde{\omega}_2(2\varepsilon) = e^{\varepsilon} T^{\varepsilon}_* \tilde{\omega}(\varepsilon);$$

les formes  $\omega_1(2\varepsilon)$  et  $\tilde{\omega}_2(2\varepsilon)$  sont donc conjuguées par  $T^{\varepsilon}_*(\Phi) := T^{\varepsilon}\Phi T^{-\varepsilon}$ . En particulier sur  $\{y = 1 - \delta, u = 2\varepsilon\}$  on a  $\tilde{\omega}_2(2\varepsilon) = \phi^{2\varepsilon}_*(\tilde{\omega}_1(2\varepsilon))$ , où par définition

 $\phi^{2\epsilon} = T_*^{\epsilon}(\phi^{\epsilon})$ . En suivant les caractéristiques, l'espace réduit de  $\Sigma'$  s'identifie à  $\{y = 1 - \delta, u = \epsilon\}$  muni de la forme  $\tilde{\omega}(\epsilon)$  donc à  $(D, e^{\epsilon} standard)$ . Le difféomorphisme  $\phi^{\epsilon}$  vérifie  $\phi^{\epsilon} = T^{-\epsilon}\phi^{2\epsilon}T^{\epsilon}$  et, dans le réduit  $(D, e^{\epsilon} standard)$ ,  $\phi^{\epsilon}$  se lit  $T^{-\epsilon}\phi^{\epsilon}T^{\epsilon}$  (voir (21)); il est donc fragmentable dans les domaines  $A_k$ .

LEMME. Les  $A_k$  admettent des relèvements  $\lambda'$ -standards  $\hat{A}_k^{\varepsilon}$  dans  $\Sigma'$  mutuellement disjoints. Plus précisement  $\hat{A}_k^{\varepsilon}$  prend place dans une bande caractéristique de  $\Sigma'$  de base  $\{y=1-\delta, u=\varepsilon\}$  dont les caractéristiques sont toutes de  $\lambda'$ -longueur égale à  $e^{\varepsilon}\theta_0/4n(2n-1)$ .

Preuve. Comme dans le lemme 3.9, ce résultat dépend d'une part de la  $\lambda'$ -longueur des caractéristiques de  $\Sigma'$  et d'autre part d'une constante de Lipschitz uniforme pour une primitive de

$$\lambda'_{|\{y=1-\delta,u=\varepsilon\}} - \frac{1}{2} \sum_{\varepsilon} e^{\varepsilon} [(x_{2j+1} - a_{2j+1}) dx_{2j+2} - (x_{2j+2} - a_{2j+2}) dx_{2j+1}]$$

lorsque  $a=(a_i)$  parcourt  $\overline{D-U_0}$ . Or cette primitive, à une constante près, est  $e^{\varepsilon}h_a$ , de constante de Lipschitz uniforme  $e^{\varepsilon}C$  (voir 3.9). D'autre part la  $\lambda'$ -longueur des caractéristiques de  $\Sigma'$  est  $\geq e^{\varepsilon}\theta_0(1-1/4n)$  (lemme 3.11); c'est  $\geq e^{\varepsilon}\theta_0(1/4n)$ , qui est la longueur suffisante pour faire ces relèvements.

La bande caractéristique  $T^{\varepsilon}(B)$  pour  $\tilde{\omega}(\varepsilon)$  est contenue dans N''. Donc les  $\hat{A}_{k}^{\varepsilon}$  sont les bases de bandes caractéristiques mutuellement disjointes  $B_{k}^{\varepsilon}$ , disjointes de  $T^{\varepsilon}(B)$  et tangentes à  $\partial_{u'}$  au voisinage de la base (comparer avec 3.10). La fragmentation du difféomorphisme  $\phi^{\varepsilon}$  donne lieu à la construction de graphes de hamiltoniens dans des cylindres de Darboux qui ont pour âme les translatés "verticaux"  $T'^{\varepsilon}(B_{k}^{\varepsilon})$ . L'hypersurface  $\Sigma^{2\varepsilon}$  ainsi obtenue (son bord est dans  $\{u=2e\}$ ) intervient dans la chirurgie de la seconde étape qui résorbe la discontinuité existant entre les formules (27) et (28). Ceci termine la construction de  $\tilde{\omega}(2\varepsilon)$ .

## 3.14 Fin de la démonstration du théorème 1.1 (sans paramètres)

En vue de la troisième étape on met en place une hypersurface  $\Sigma'^{2\epsilon}$ , au-dessus de  $\Sigma^{2\epsilon}$  et de même bord dans  $\{u=2\epsilon\}$ , et une forme de Liouville  $\lambda^{2\epsilon}$  pour  $\tilde{\omega}_2(2\epsilon)$  avec des propriétés analogues à celles du lemme 3.11. En particulier au voisinage du bord de  $\Sigma'^{2\epsilon}$  on a:  $\lambda^{2\epsilon} = e^{2\epsilon}T_*^{2\epsilon}\lambda$ . L'hypersurface  $\Sigma'^{2\epsilon}$  est faite avec des graphes de fonctions  $\geq 0$ 

$$m_k^{2\varepsilon}$$
:  $A_k \times [-1, +1] \to \mathbb{R}$ ,

tracés dans des cylindres de Darboux. Pour contrôler les longueurs des caractéristiques de  $\Sigma'^{2\epsilon}$  mesurées par  $\lambda^{2\epsilon}$ , on choisit judicieusement les supports de ces fonctions:

l'ensemble des points où  $\partial_{\hat{x}} m_k^{2\varepsilon} \neq 0$  est contenu dans un anneau  $\mathcal{C}_k^{2\varepsilon}$  disjoint de  $\mathcal{C}_k^{\varepsilon}$  et l'entourant.

On note  $A_k^{\prime 2\varepsilon}$  la réunion des composantes du complémentaire de  $\mathscr{C}_k^{2\varepsilon}$  dans  $A_k$  ne rencontrant pas  $\partial A_k$ . Comme en 3.12 on forme la réunion

$$\mathscr{C}^{2\varepsilon} = \mathscr{C}_0^{2\varepsilon} \cup \mathscr{C}_1^{2\varepsilon} \cup \cdots \cup \mathscr{C}_{2n-2}^{2\varepsilon}$$

et on note  $U_0^{2\varepsilon}$  la composante connexe du complémentaire de  $\mathscr{C}^{2\varepsilon}$  dans D contenant  $\partial D$ .

Concernant les longueurs des caractéristiques  $\gamma$  tracées sur  $\Sigma'^{2\varepsilon}$  et mesurées par  $\lambda^{2\varepsilon}$  on a les résultats suivants.

#### LEMME.

- (1) Si  $e(\gamma)$  n'appartient ni à  $\mathscr{C}^{\varepsilon}$  ni à  $\mathscr{C}^{2\varepsilon}$ , on a  $l(\gamma) \geq e^{2\varepsilon}\theta_0$ .
- (2) Si  $e(\gamma)$  appartient exactement à un des colliers  $\mathscr{C}^{\varepsilon}$ ,  $\mathscr{C}^{2\varepsilon}$ , on a  $l(\gamma) \ge e^{2\varepsilon}\theta_0(1-1/4n)$ .
- (3) Si  $e(\gamma) \in \mathscr{C}^{2\varepsilon} \cap \mathscr{C}^{\varepsilon}$ , on a  $l(\gamma) \ge e^{2\varepsilon} \theta_0 (1 2/4n)$ .

Preuve. Pour une extrémité fixée dans le réduit, on a trois caractéristiques:  $\gamma_0$  dans  $(\{u=0\}, \omega)$ ,  $\gamma_1$  dans  $(\Sigma'^{\epsilon} := \Sigma', \tilde{\omega}_2(\epsilon))$ , et  $\gamma_2 = \gamma$  dans  $(\Sigma'^{2\epsilon}, \tilde{\omega}_2(2\epsilon))$ ; elles sont mesurées respectivement par  $\lambda$ ,  $\lambda^{\epsilon} := \lambda'$ ,  $\lambda^{2\epsilon}$  Dans le cas 1), on a  $l(\gamma_2) \ge e^{\epsilon}l(\gamma_1) \ge e^{2\epsilon}l(\gamma_0) \ge e^{2\epsilon}\theta_0$ . Dans le cas 2), on a  $l(\gamma_2) \ge e^{\epsilon}l(\gamma_1) - e^{2\epsilon}\theta_0/4n$  et  $l(\gamma_1) \ge e^{\epsilon}l(\gamma_0)$ . Dans le cas 3), on a  $l(\gamma_2) \ge e^{\epsilon}l(\gamma_1) - e^{2\epsilon}\theta_0/4n$  et  $l(\gamma_1) \ge e^{\epsilon}l(\gamma_0) - e^{\epsilon}\theta_0/4n$ . cqfd

Ces minorations permettent de trouver des relèvements  $\lambda^{2\varepsilon}$ -standards pour les  $A_k$ , mutuellement disjoints.

Si on itère la construction, en prenant les colliers  $\mathscr{C}_k^{q\varepsilon}$  à chaque fois à l'extérieur du précédent, on observe que, pour toute suite de 2n+1 entiers  $q_0 < \cdots < q_{2n}$ , on a:

$$\mathscr{C}^{q_0\varepsilon} \cap \mathscr{C}^{q_1\varepsilon} \cap \cdots \cap \mathscr{C}^{q_{2n}\varepsilon} = \emptyset. \tag{29}$$

Cela implique que si l'on estime en fonction de q les longueurs des caractéristiques  $\gamma_q$  tracées sur les  $\Sigma'^{q\varepsilon}$  ayant une extrémité fixée dans l'espace réduit, on ne peut trouver plus de 2n raccourcissements. On trouve donc pour tout  $q < 1/\varepsilon$ ,

$$l(\gamma_q) \ge e^{q\varepsilon}\theta_0 \left(1 - \frac{2n}{4n}\right) = e^{q\varepsilon}\frac{\theta_0}{2}.$$

Cette estimation a priori assure que la construction peut effectivement être poursuivie jusqu'à  $q \sim 1/\varepsilon$ , puisque, pour tout q, l'inégalité  $l(\gamma_q) > e^{q\varepsilon} \theta_0/4n$  permet d'avoir des relèvements  $\lambda^{q\varepsilon}$ -standards de  $A_k$  dans  $\Sigma^{'q\varepsilon}$ , mutuellement disjoints. Ceci achève la démonstration du théorème 1.1 sans paramètres.

#### §4. Preuve du théorème 1.1 avec paramètres

Soit I le cube unité d'un espace euclidien. On considère une famille  $\omega_{\theta} = d\lambda_{\theta}$ ,  $\theta \in I$ , de formes symplectiques satisfaisant les hypothèses du théorème 1.1. On note  $\omega_{\theta}(t)$ ,  $0 \le t \le 1$ , la déformation de  $\omega_{\theta}$  donnée au voisinage de  $\partial S \times \mathbf{R}^+$  par la formule (4)

$$\omega_{\theta}(t) = e^t T^t_* \omega_{\theta}.$$

On veut construire une famille  $\tilde{\omega}_{\theta}(t)$  de formes symplectiques sur M satisfaisant (i)-(iii) du théorème 1.1

La difficulté principale tient au fait que la géométrie des caractéristiques de  $S \times \{0\}$  peut changer avec  $\theta$ . Pour éviter un problème de bifurcation similaire, A. Hatcher [Ha] a utilisé une technique de partition de l'unité, dont on va s'inspirer ici.

### 4.1 Construction de bandes caractéristiques dans le cas à paramètres

Étant donné une bande caractéristique B de  $\omega_{\theta_0}$ , de base  $\Delta$ , et un voisinage  $\mathcal{N}$  de  $\Delta$  dans  $\{u=0\}$ , la proposition 5 de [La] énonce ce qui suit: si la forme induite par  $\omega_{\theta}$  sur  $\Delta$  est assez proche de celle induite par  $\omega_{\theta_0}$ , il existe des bandes caractéristiques normales  $B_1(\theta), \ldots, B_N(\theta)$  pour  $\omega_{\theta}$ , mutuellement disjointes et  $C^{\infty}$  en  $\theta$ , dont les bases dans  $\{u=0\}$  rencontrent toutes les caractéristiques de  $\mathcal{N}$  qui coupent  $\Delta$ .

Noter que la condition de proximité ne porte que sur les bases.

# 4.2 Un recouvrement de l'espace des paramètres

On recouvre I par des cubes  $I_k$ ,  $1 \le k \le p$ . Si le recouvrement est assez fin, il existe des ensembles finis  $J_k$  et des (2n-2)-disques  $\Delta_{k,j} \subset S \times \{0\}$ ,  $j \in J_k$ , munis de voisinages  $\mathcal{N}_{k,j}$  avec les propriétés suivantes:

- les  $\Delta_{k,j}$  détruisent la récurrence du feuilletage caractéristique de  $(\{u=0\}, \omega_{\theta})$  hors d'un voisinage du bord (voir 2.3), pour tout  $\theta \in I_k$ ;
- les formes induites sur  $\Delta_{k,j}$  par  $\omega_{\theta}$ ,  $\theta \in I_k$ , satisfont la condition de proximité de 4.1;

- les  $\Delta_{k,j}$  sont les bases de bandes caractéristiques normales pour  $\omega_{\theta_k}$ , où  $\theta_k$  est le centre de  $I_k$ .

Par hypothèse, le champ  $\partial_u$  est un champ de Liouville pour tous les  $\omega_{\theta}$ ,  $\theta \in I$ , dans un voisinage fixe de  $\partial S \times \{0\}$ . Comme en 2.4, on peut étendre ce champ de Liouville en un champ  $Y_{\theta}$ ,  $\theta \in I_k$ , le long de  $S \times \{0\}$ ,  $C^{\infty}$  en  $\theta$ , qui est de Liouville pour  $\omega_{\theta}$  et qui pointe vers  $\{u > 0\}$  excepté au voisinage des  $\Delta_{k,j}$ .

En effet, comme dans la preuve de 2.4, on doit construire une fonction avec une certaine propriété de croissance le long des caractéristiques. Pour chaque  $\theta \in I_k$ , le rôle de  $\lambda$  est joué par  $\lambda_{\theta}$ . En fait, si on travaille dans  $S \times I_k$ , la construction est exactement la même qu'en 2.4.

#### 4.3 Fin de la preuve

Comme dans le célèbre livre de Steenrod, on choisit une partition de l'unité  $\alpha_k$  subordonnée au recouvrement  $(I_k)$ . On peut supposer  $\alpha_k(\theta_k) = 1$ . On pose  $A_k(\theta) = \alpha_1(\theta) + \ldots + \alpha_k(\theta)$ . On construit la famille  $(\tilde{\omega}_{\theta}(t))_{0 \le t \le A_k(\theta)}$  par récurrence sur k. Observer que  $A_k(\theta) > A_{k-1}(\theta)$  implique  $\theta \in I_k$ .

Pour  $\theta \in I_k$ , on pose  $\Omega_{\theta} = \tilde{\omega}_{\theta}(A_{k-1}(\theta))$ . Cette forme coîncide avec  $\omega_{\theta}$  près de  $\{u=0\}$  et avec  $\omega$  près de l'infini; en particulier elle satisfait la condition de proximité 4.1. Comme  $A_{k-1}(\theta_k) = 0$ , on a  $\Omega_{\theta_k} = \omega_{\theta_k}$  sur M tout entier. Alors, par 4.2, le disque  $\Delta_{k,i}$  est la base d'une bande caractéristique  $B_{k,i}$  pour  $\Omega_{\theta_k}$ .

On applique 4.1 à  $\Omega_{\theta}$ ,  $\theta \in I_k$ , avec  $B = B_{k,j}$  et  $\mathcal{N} = \mathcal{N}_{k,j}$ . Il existe donc un nombre fini de bandes caractéristiques normales  $B_{k,j,l}(\theta)$ ,  $l \in L_{k,j}$ , pour la forme symplectique  $\Omega_{\theta}$ ,  $C^{\infty}$  en  $\theta \in I_k$ ; leurs bases  $\Delta_{k,j,l}(\theta)$ ,  $l \in L_{k,j}$ , sont dans  $\mathcal{N}_{k,j}$  et leur union sur l recontre toute caractéristique de  $\mathcal{N}_{k,j}$  qui coupe  $\Delta_{k,j}$ . Le long de l'intérieur de  $\mathcal{N}_{k,j}$ , on peut modifier  $Y_{\theta}$  en un champ de Liouville pour  $\Omega_{\theta} = \omega_{\theta}$  et qui pointe vers  $\{u > 0\}$  excepté le long des  $\Delta_{k,j,l}(\theta)$ ; de nouveau cela peut se faire exactement comme en 2.4.

Pour  $\theta \in I_k$ , la procédure de prolongement décrite au paragraphe 3 s'applique en prenant  $\Omega_{\theta}$  comme condition initiale au lieu de  $\omega_{\theta}$ . Elle fournit une famille de formes symplectiques  $\tilde{\Omega}_{\theta}(t)$ .  $0 \le t \le 1$ ,  $C^{\infty}$  en  $\theta \in I_k$ , qui coïncident avec  $e^t T^t_* \Omega_{\theta}$  près de  $\partial S \times \mathbb{R}^+$ , avec  $\Omega_{\theta} = \omega_{\theta}$  près de  $S \times \{0\}$  et avec  $\omega$  près de l'infini. On peut définir alors  $\tilde{\omega}_{\theta}(t)$  pour  $A_{k-1}(\theta) \le t \le A_k(\theta)$  par

$$\tilde{\omega}_{\theta}(t) = \begin{cases} \tilde{\Omega}_{\theta}(t - A_{k-1}(\theta)) & \text{pour } \theta \in I_k \\ \tilde{\omega}_{\theta}(A_{k-1}(\theta)) & \text{pour } \theta \notin I_k \end{cases}$$

Ces deux formules se recollent car  $A_k(\theta) = A_{k-1}(\theta)$  près du bord de  $I_k$ . Les formes  $\tilde{\omega}_{\theta}(t)$  ont les propriétés requises au voisinage du bord de M car  $T^t$  est un groupe à un paramètre.

#### 4.4 Compléments sur les primitives

Concernant les formes symplectiques  $\tilde{\omega}(t)$  données par le théorème 1.1, on sait qu'elles sont toutes exactes puisqu'à l'infini elles coıncident toutes avec une même forme exacte. De façon plus précise on a la proposition suivante.

**PROPOSITION.** Soit  $(\omega_{\theta}) = (d\lambda_{\theta})$  une famille de formes symplectiques exactes satisfaisant les hypothèses du théorème 1.1, c'est-à-dire que:

- $\lambda_{\theta} = \lambda$  est indépendant de θ hors d'un compact fixe sur lequel  $\partial_{u}$  est le dλ-dual de  $\lambda$ ;
- $-\partial_u$  est le  $d\lambda_\theta$ -dual de  $\lambda_\theta$  dans un voisinage fixe de  $\partial S \times \{0\}$ .

Dans ces conditions on peut choisir les formes  $\tilde{\omega}(t)$  avec des primitives  $\tilde{\lambda}(t)$  ayant les propriétés suivantes:

- (i)  $\tilde{\lambda}_{\theta}(0) = \lambda_{\theta}$ ;
- (ii)  $\tilde{\lambda}_{\theta}(t) = \lambda$  en dehors d'un compact fixe;
- (iii)  $\tilde{\lambda}_{\theta}(t) = \lambda_{\theta}$  au voisinage de  $S \times \{0\}$
- (iv)  $\tilde{\lambda}_{\theta}(t) = e^{t}(T_{t}) * \lambda_{\theta}$  au voisinage de  $\partial S \times [0, +\infty)$ .

*Preuve*. Le seul problème, qui n'existe pas lorsque S est simplement connexe, est de satisfaire la condition (iii).

Considérons d'abord le cas simple où il existe un champ de vecteurs  $Z_{\theta}$ , rentrant dans M le long de  $\{u=0\}$ ,  $C^{\infty}$  en  $\theta$ , qui coïncide avec  $\partial_{u}$  au voisinage de  $\partial S \times \{0\}$  et de l'infini et qui au voisinage de  $\{u=0\}$  est le  $\omega_{\theta}$ -dual d'une forme de Liouville que l'on peut écrire globalement  $\lambda'_{\theta} = \lambda_{\theta} + dH_{\theta}$ , où  $H_{\theta}$  est une fonction à support compact dans M. On considère

$$\tilde{\lambda}'(t) = e^t \zeta_{\theta^*}^t(\lambda_{\theta}'),$$

où  $\zeta_{\theta}$  est le flot de  $Z_{\theta}$  (comparer avec la remarque 1.2): cette formule est bien définie au-dessus de  $\zeta_{\theta}^{t}(\{u=0\})$  et se prolonge canoniquement en-dessous de  $\zeta_{\theta}^{t}(\{u=0\})$  en utilisant le fait que  $Z_{\theta}$  est un champ de Liouville au voisinage de  $\{u=0\}$  (voir (4)); ce prolongement vaut  $\tilde{\lambda}_{\theta}^{t}(t) = \lambda_{\theta}^{t}$  au voisinage de  $\{u=0\}$ . Une solution du problème dans ce premier cas est alors donnée par

$$\tilde{\lambda}_{\theta}(t) = \tilde{\lambda}_{\theta}'(t) - dH_{\theta}.$$

Dans le complémentaire de cylindres bien choisis, on est dans cette situation, d'après 2.4 et 2.7. Les primitives choisies en dehors des cylindres se prolongent en primitives dans ces cylindres en vertu du lemme de Poincaré. Près de la base des cylindres, les primitives ainsi trouvées ne coîncident peut-être pas avec  $\lambda_{\theta}$ , mais comme ces bases sont simplement connexes on récupère la bonne restriction à  $\{u=0\}$  en corrigeant les primitives par des différentielles de fonctions.

#### Appendice: démonstration du lemme de fragmentation

On donne ici une démonstration du lemme de fragmentation de Banyaga énoncé en 3.8.

Au départ on a des domaines  $A_k$ ,  $k=0,\ldots,p$ , formant un recouvrement de  $\overline{D-U_0}$ . Chaque  $A_k$  est une réunion finie de boules disjointes, mais cela ne servira pas. On se donne un rétrécissement  $A'_k \subset \operatorname{int} A_k$  tel que les  $A'_k$  recouvrent encore  $\overline{D-U_0}$ . On choisit une fois pour toutes une fonction cloche indépendante du temps,  $\alpha: D \to [0, 1]$ , à support dans int  $A_0$  et valant 1 sur un voisinage de  $A'_0$ .

Soit  $h: D \times [0, 1] \to \mathbb{R}_+$  un hamiltonien dépendant du temps à support dans  $(D - U_0) \times [0, 1]$  et soit  $\phi'$ ,  $t \in [0, 1]$ , l'isotopie hamiltonienne correspondante. Si h est assez petit (en topologie  $C^1$ ),  $\phi'(A'_0) \subset \operatorname{int} \alpha^{-1}(1)$  pour tout  $t \in [0, 1]$ .

On pose  $h_0 = \alpha h$  et on note  $\phi_0^t$  l'isotopie hamiltonienne correspondante. Si x est proche de  $A_0^t$ , on a pour tout  $t \in [0, 1]$ 

$$\phi_0^t(x) = \phi'(x)$$
 et  $h(\phi_0^t(x), t) = h_0(\phi_0^t(x), t)$ .

D'autre part le support de  $h_0$  est contenu dans  $(D - U_0) \times [0, 1]$ .

On considère le difféomorphisme  $\psi = (\phi_0^1)^{-1} \circ \phi^1$ . Son support est dans  $D - (U_0 \cup A'_0)$ . La différence "tordue" de h et de  $h_0$  est un hamiltonien pour une isotopie hamiltonienne de l'identité à  $\psi$ , à support dans  $D - (U_0 \cup A'_0)$ . La différence "tordue" est définie par la formule:

$$H(x, t) = h(\phi_0^t(x), t) - h_0(\phi_0^t(x), t).$$

Par récurrence sur le nombre de domaines de fragmentation, on sait que si H est assez petit,  $\psi$  peut être fragmenté comme produit

$$\psi = \psi_1 \circ \cdots \circ \psi_p$$

où chaque  $\psi_k$  est le temps 1 d'une isotopie hamiltonienne dont le hamiltonien est à support dans

$$[(D - (U_0 \cup A'_0)) \cap \text{int } A_k] \times [0, 1].$$

Comme la petitesse de H en topologie  $C^{\infty}$  ne dépend que de celle de h, on a le résultat cherché:

$$\phi^1 = \phi_0^1 \circ \psi_1 \circ \cdots \circ \psi_n.$$
 cqfd

Remarque. La démonstration montre aussi que si on part d'une isotopie hamiltonienne dont le hamiltonien est positif, on peut imposer aux "fragments" d'être donnés par des hamiltoniens positifs. D'autre part, le nombre de dérivées consommées est le nombre de domaines de fragmentation, à une unité près. Comme ce nombre est arbitraire, on doit utiliser la topologie  $C^{\infty}$ .

# Chapitre II

#### ENGOUFFREMENT DE CYLINDRES DE LIOUVILLE

Le problème qui est résolu dans ce chapitre est totalement trivial du point de vue de la topologie différentielle alors qu'en topologie symplectique il nécessite des hypothèses très fortes à l'infini. Le théorème de flexibilité établi au chapitre I en est la cheville ouvrière, il sera réénoncé sous la forme où il sera utilisé.

#### §1. Enoncés des résultats

1.1. On considère une variété symplectique exacte de dimension 2n  $(M^{2n}, \omega = d\lambda)$ , avec un bord  $S = \lambda M$  compact. Le champ de vecteurs  $\vec{\lambda}$ , qui est le  $\omega$ -dual de la forme de Liouville  $\lambda$ , est supposé positivement complet; en particulier, le champ de Liouville  $\vec{\lambda}$  rentre dans la variété le long du bord S, qui est alors concave (au sens de [EG]) pour son orientation comme bord. Si  $\varphi_t$  est le flot d'un champ de Liouville pour  $\omega$  et si  $\varphi_{t_*}$  désigne l'opérateur image directe sur les formes différentielles, on a l'identité caractéristique

$$\omega \equiv e^t \varphi_{t*} \omega$$
.

Tous les champs de Liouville de  $(M, \omega)$  considérés dans ce chapitre rentrent dans M le long du bord et ne diffèrent de  $\lambda$  que par un hamiltonien à support compact; en revanche, ils peuvent diffèrer le long du bord. On fait l'hypothèse de convexité à l'infini [EG]:

(H1) Il existe une hypersurface compacte sans bord  $\Sigma$ , transverse à  $\vec{\lambda}$ , limitant avec S une variété compacte, et dont le saturé positif par  $\vec{\lambda}$  est complet et constitue un voisinage de l'infini de M.

# 1.2 Engouffrement d'un cylindre de Liouville

Soit A un domaine de S et  $C \cong A \times [0, 1]$  un cylindre dans M de base A; on suppose que C est un cylindre de Liouville, c'est-à-dire qu'il existe un champ de Liouville Y défini seulement au voisinage de C et tangent aux lignes  $a \times [0, 1]$ ,  $a \in A$ 

(on ne demande pas que Y se prolonge en un champ de Liouville rentrant dans M le long de tout le bord). Enfin on note  $U_0$  le saturé positif de S par  $\lambda$ .

THÉORÈME A. Sous l'hypothèse (H1) le cylindre C peut être engouffré par  $U_0$ : il existe une isotopie hamiltonienne ambiante à support compact dans int M poussant  $U_0$  jusqu'à contenir C.

On déduit ce théorème d'un théorème d'engouffrement plus technique.

1.3. Soit  $Y_1$  et  $Y_2$  deux champs de Liouville rentrant dans M le long de S; pour  $i = 1, 2, U_i$  désigne le saturé positif de S par le champ  $Y_i$ .

Soit alors  $A_1$  et  $A_2$  deux domaines compacts dans S; on note  $A = A_1 \cap A_2$ . On considère d'une part le cylindre  $R_1$  (resp. R), difféomorphe à  $A_1 \times [0, 1]$  (resp.  $A \times [0, 1]$ ), qui est le saturé de  $A_1$  (resp. A) par le champ  $Y_1$  jusqu'au temps 1. On considère d'autre part un cylindre  $R_2 \cong A_2 \times [0, 1]$  de base  $A_2$ , contenu dans  $U_2$  (il n'est pas demandé que  $Y_2$  soit tangent à  $R_2$ ). On suppose:

(H2)  $R = R_1 \cap R_2$  et, au voisinage de cette intersection,  $Y_1 = Y_2$ .

Enfin on fait l'hypothèse topologique suivante:

(H3)  $A_1 - A$  se rétracte par déformation sur un polyèdre de dimension k pour un entier k tel que le cobordisme compact W entre S et  $\Sigma$  ait une décomposition en anses à partir de S sans anses d'indice  $\geq 2n - k$ .

Par exemple, l'hypothèse (H3) est satisfaite si  $A_1 - A$  est une réunion de boules disjointes. En effet, à cause du champ de Liouville rentrant le long de S, toute

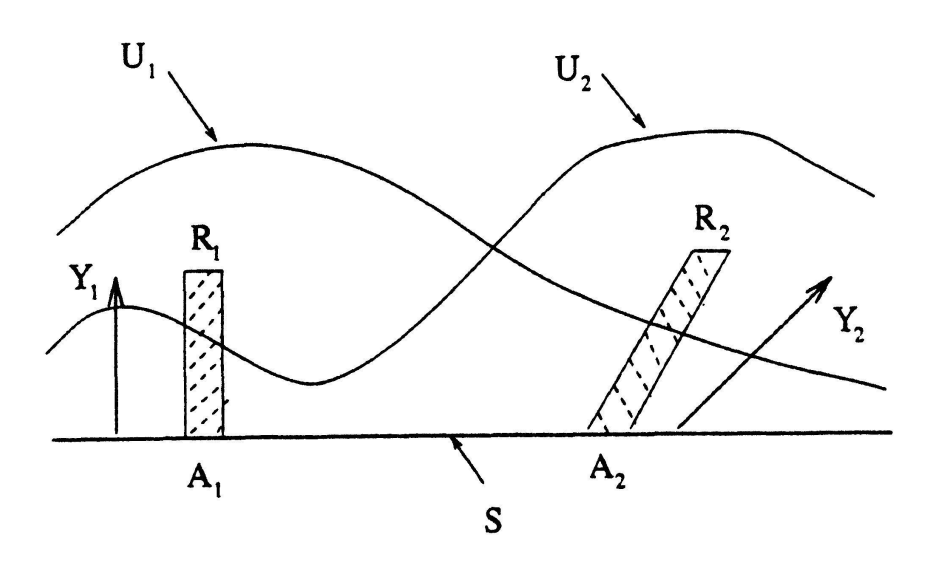


Figure 5

composante connexe de W touche  $\Sigma$  et admet donc une décomposition en anses sans anses d'indice 2n. Dans la situation décrite ci-dessus on a cet autre théorème d'engouffrement de cylindres:

THÉORÈME B. Il existe une isotopie hamiltonienne de plongement de  $R_2$  dans  $M - (R_1 - R)$ , stationnaire au voisinage de  $R \cup A_2$ , partant de l'inclusion et aboutissant dans  $U_1$  (Figure 5).

Pour la démonstration, on pourra se limiter au cas où  $R_1$  et  $R_2$  sont disjoints. En effet soit M' la variété obtenue en retirant à M un petit voisinage régulier de  $S \cup R$  qui s'y rétracte en suivant les lignes de champ de  $Y_1$ . Soit S' le bord de M'. Les champs de Liouville  $Y_1$  et  $Y_2$  pointent tous les deux vers l'intérieur de M' le long de S'. Soit  $A'_i = R_i \cap S'$ ,  $R'_i = R_i \cap M'$  pour i = 1, 2. Par construction  $R'_1 \cap R'_2 = \emptyset$  et l'engouffrement dans M' donne ce que l'on veut dans M.

#### 1.4 Déformation de formes symplectiques

On rappelle le théorème de prolongement de formes symplectiques établi au chapitre I (th. 1.1 et prop. 4.4). On considère une variété V, compacte à bord de dimension 2n-1, et le produit  $V \times [0, +\infty)$ . Notant u la dernière coordonnée, on considère sur  $V \times [0, +\infty)$  le semi-flot  $t \in \mathbb{R}^+ \mapsto T_t$  engendré par  $\partial/\partial u$ . On se donne une famille de formes symplectiques exactes  $\omega_s = d\lambda_s$  dépendant d'un paramètre  $s \in [0, 1]^k$ . On fait les hypothèses suivantes:

- a) hors d'un compact fixe  $\{u \ge u_0\}$ ,  $\lambda_s$  est indépendant de s;
- b)  $\partial/\partial u$  est le champ de Liouville  $\omega_s$ -dual de  $\lambda_s$  dans  $\{u \geq u_0\}$  et au voisinage de  $\partial V \times \{0\}$ .

On considère, pour  $t \in [0, 1]$ , le chemin  $\omega_s(t)$  de germes de formes symplectiques le long du bord de  $V \times [0, +\infty)$  défini par les deux formules suivantes:

$$\omega_s(t) = e^t(T_t)_* \omega_s$$
 au voisinage de  $\partial V \times [0, +\infty)$  (1)

$$\omega_s(t) = \omega_s$$
 au voisinage de  $V \times \{0\}$ . (2)

Pour donner complètement un sens à la formule (1), on observe que  $\partial/\partial u$  étant un champ de Liouville au voisinage de  $\partial V \times \{0\}$ , la structure symplectique  $\omega_s$  se prolonge canoniquement comme germe le long de  $\partial V \times (-\infty, 0]$ , en imposant que  $\partial/\partial u$  y soit un champ de Liouville; la formule (1) est alors bien définie et produit une déformation de  $\omega_s$  stationnaire au voisinage de  $\partial V \times \{0\}$ .

THÉORÈM DE PROLONGEMENT. Dans les conditions ci-dessus, il existe des formes symplectiques exactes  $\tilde{\omega}_s(t)$  et des primitives  $\tilde{\lambda}_s(t)$  dépendant continûment

des deux paramètres et vérifiant:

- (a) hors d'un compact fixe  $\{u \ge u_1\}$ ,  $\tilde{\lambda}_s(t)$  est indépendant de s et de t;
- (b) au voisinage du bord,  $\tilde{\omega}_s(t)$  est donné par les formules (1) et (2);
- (c) au voisinage de  $\{u=0\}, \, \tilde{\lambda}_s(t) = \lambda_s;$
- (d) au voisinage de  $\partial V \times [0, +\infty)$ ,  $\tilde{\lambda}_s(t) = e^t(T_t)_* \lambda_s$ ;
- (e) pour t = 0,  $\tilde{\lambda}_s(0) = \lambda_s$ .
- 1.5 NOTATION. Revenant à la variété M de 1.1, pour un ouvert U de M contenant S, on note  $\mathcal{K}(U)$  l'ensemble des formes symplectiques exactes de M dont une primitive coîncide avec  $\lambda$  au voisinage de S et hors d'un compact de U. On ne considère pas  $\mathcal{K}(U)$  comme un espace topologique mais comme un ensemble simplicial; les k-simplexes sont les familles à k paramètres de formes symplectiques exactes se relevant en une famille de primitives qui coîncident avec  $\lambda$  au voisinage de S et hors d'un compact fixe de U. D'après le lemme de Moser [Mo], dans un k-simplexe de  $\mathcal{K}(U)$  tous les éléments se déduisent les uns des autres par une isotopie ambiante à support dans le compact indiqué.

#### §2. Démonstration du théorème B

Comme on l'a dit, on peut se limiter au cas où  $R_1$  et  $R_2$  sont disjoints.

Voici le plan de la démonstration: on pousse  $R_2$  dans  $U_1$  par une isotopie hamiltonienne du type "Alexander"; on crée ainsi des intersections de  $R_2$  avec  $R_1$ . On fait fuir ces intersections par le bord libre de  $R_1$ , ce qui détruit la structure symplectique. Le théorème de prolongement rappelé précédemment, joint au lemme de Moser, permet le redressement de la structure symplectique tout en laissant  $R_1$  disjoint de  $R_2$ . On établit enfin que cette construction est le résultat d'une isotopie hamiltonienne.

Voici les détails. On note  $\eta_i(t)$  le semi-flot de  $Y_i$  et  $S_i$  l'hypersurface  $\eta_i(1)(S)$ .

LEMME 1. L'hypersurface  $S_2$  est isotope à  $S_1$  par une isotopie hamiltonienne ambiante fixe près du bord.

Preuve (à la Alexander). La formule  $\eta_1(\theta)\eta_2(\theta)^{-1}|S_2$  est une isotopie hamiltonienne que l'on prolonge à support compact dans int M et qui convient. cqfd

Quitte à remplacer le temps 1 du flot  $\eta_2$  par un temps plus grand, on peut supposer que  $R_2$  est dans la composante compacte limitée par S et  $S_2$ . On récolte ainsi une isotopie hamiltonienne  $\phi_t \colon R_2 \to M$ ,  $t \in [0, 1]$ , où  $\phi_0$  est l'inclusion de  $R_2$  dans M où  $\phi_1(R_2) \subset U_1$ . Mais  $\phi_1(R_2)$  n'a aucune raison d'être disjoint de  $R_1$ . Soit  $\chi_u \colon M \to M$ ,  $u \in [0, 1]$ , une isotopie (non hamiltonienne), fixe près du bord, à support compact dans  $U_1 - R_2$  et déplaçant chaque point sur son  $Y_1$ -orbite dans le

sens du champ. On demande que  $\chi_1^{-1}(R_1)$ , qui est contenu dans  $R_1$ , soit disjoint de  $\phi_t(R_2)$  pour tout  $t \in [0, 1]$ . L'isotopie  $t \mapsto (\chi_1 \phi_t : R_2 \to M - R_1)$  est hamiltonienne pour  $\omega' := \chi_1 \omega$  et non pour  $\omega$ .

La forme symplectique  $\omega'$  coîncide avec  $\omega$  près de S. Ceci permet de considérer la formule suivante qui donne une déformation de  $\omega'$  jusqu'à  $\omega$  le long de  $R_1$ :

$$\omega_s' = e^s(\eta_1(s))_{\star} \omega' \tag{3}$$

Pour s = 0, on a  $\omega'_0 = \omega'$  et, pour s proche de 1, on a  $\omega'_s = \omega$  le long de  $R_1$  à cause de l'identité caractéristique des champs de Liouville. On applique alors le théorème de prolongement à cette déformation de formes symplectiques. Voici comment on le fait (Figure 6).

On considère un champ  $\tilde{Y}_1$  (de flot  $\eta_1(s)$ ), coïncidant avec  $Y_1$  près de  $S \cup R_1$  et hors d'un compact de  $U_1$ . On demande que le saturé de  $A_1$  par  $\tilde{Y}_1$  évite  $\chi_1 \phi_1(R_2)$  et que  $U_1$  soit encore le saturé de S par ce nouveau champ; ceci est facile à assurer car, topologiquement,  $\chi_1 \phi_1(R_2)$  se rétracte sur  $A_2$ .

Si dans la formule (3), on remplace  $\eta_1$  par  $\tilde{\eta}_1$ , on obtient une déformation de  $\omega'$  définie par (4) sur l'adhérence de  $U'_1$  dans  $U_1$ , où  $U'_1$  est le  $\tilde{Y}_1$ -saturé d'un voisinage de  $R_1$ :

$$\omega'(s) = e^{s}(\tilde{\eta}_{1}(s))_{\perp}\omega'. \tag{4}$$

On considère  $U_1''$ , obtenu à partir de  $U_1 - U_1'$  en retirant l'intérieur d'un voisinage régulier ouvert de  $\chi_1 \phi_1(R_2)$ . Cette variété est de la forme  $V \times [0, +\infty)$ , où V est une variété compacte à bord. La déformation, donnée par (4) le long de  $\partial V \times [0, +\infty)$ , et stationnaire égale à  $\omega'$  le long de  $V \times \{0\}$ , s'étend à  $U_1''$  d'après

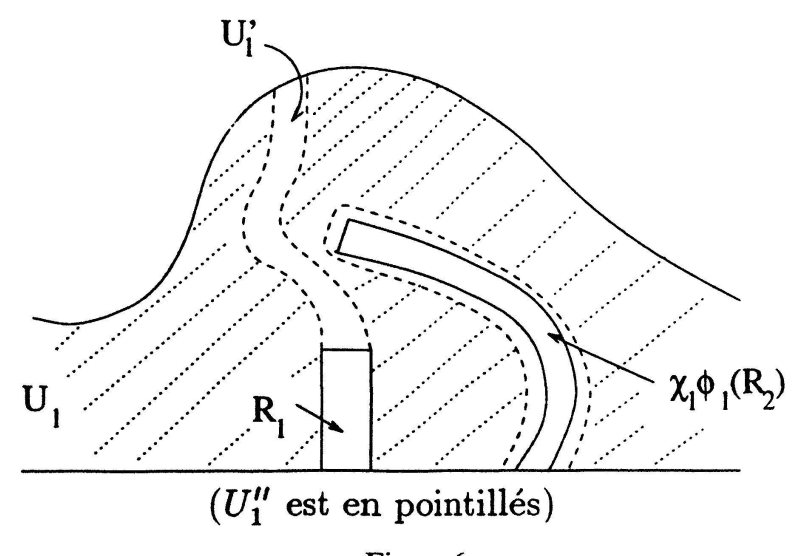


Figure 6

le théorème de prolongement. Finalement, la déformation (4) de  $\omega'$  à  $\omega$  le long de  $R_1$  se prolonge en une famille de formes symplectiques définies sur M tout entier et notées  $\omega_{1,s}$ . La déformation est à support compact dans  $U_1$  et est stationnaire sur  $\chi_1\phi_1(R_2)$ ; de plus les formes  $\omega_{1,s}$  sont exactes et ont chacune une primitive  $\lambda_{1,s}$  qui coïncide avec  $\lambda$  hors d'un compact fixe de  $U_1$ . Par le c) du théorème de prolongement, on peut choisir les primitives de sorte que  $\lambda_{1,s} = \chi_{1*}\lambda$  sur un voisinage de  $S \cup \chi_1\phi_1(R_2)$ .

On pose  $\omega_{1,1} = : \Omega_1$ . Le plongement  $\chi_1 \phi_1$  est symplectique d'un voisinage de  $R_2$  muni de  $\omega$  vers  $U_1 - R_1$  muni de  $\Omega_1$ .

LEMME 2.  $\Omega_1$  est isotope à  $\omega$  par une isotopie à support compact dans  $U_1$  et stationnaire au voisinage de  $R_1$ . De plus le lacet formé des chemins décrits de  $\omega$  à  $\omega'$   $(u \mapsto (\chi_u)_* \omega)$  puis de  $\omega'$  à  $\Omega_1$   $(s \mapsto \omega_{1,s})$ , complété par l'isotopie rel  $R_1$ , de  $\Omega_1$  à  $\omega$ , est contractile dans  $\mathcal{K}(U_1)$ .

Preuve. D'après le lemme de Moser [Mo], pour établir la première partie du lemme, il suffit de trouver un chemin dans  $\mathcal{K}(U_1)$  joignant  $\Omega_1$  à  $\omega$  constitué de formes symplectiques qui coïncident avec  $\omega$  au voisinage de  $R_1$ . En effet, comme ce cylindre se rétracte par déformation sur sa base, on peut trouver des primitives qui coïncident avec  $\lambda$  sur  $R_1 \cup S$  et hors d'un compact fixe; le générateur infinitésimal de l'isotopie de Moser est alors nul sur ces deux domaines.

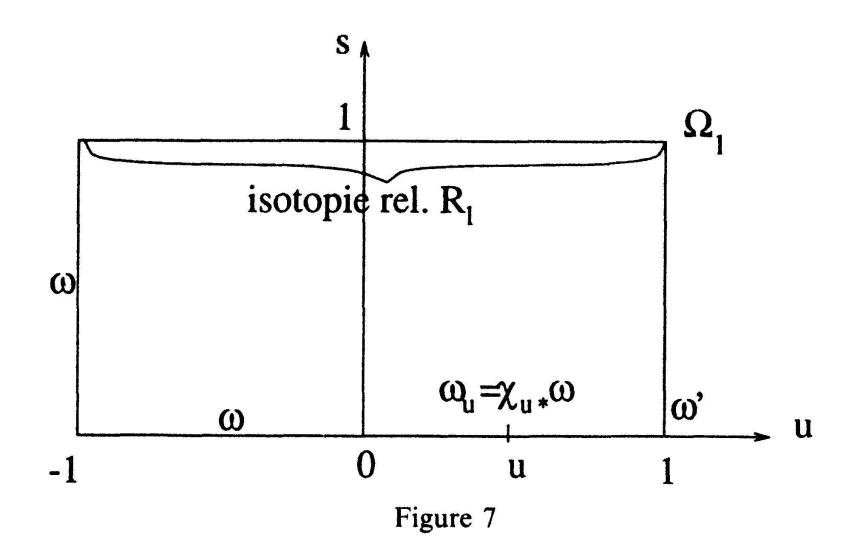
On obtient ce chemin dans  $\mathcal{K}(U_1)$  en appliquant le théorème de prolongement avec un paramètre. Précisément, considérons la famille de formes symplectiques  $\omega_u = \chi_{u_*} \omega$ ,  $u \in [0, 1]$ , et sa déformation le long de l'adhérence de  $U_1$  donnée par

$$\omega_{u,s} = e^{s}(\tilde{\eta}_{1}(s))_{*}\omega_{u}, s \in [0, 1].$$

Comme plus haut, par le théorème de prolongement elle s'étend à  $U_1'' = V \times [0, +\infty)$  et donc à  $U_1$  en prenant  $\omega_{u,s} = \omega_u$  sur  $U_1 - (U_1' \cup U_1'')$  pour tout s. C'est un 2-simplexe dans  $\mathcal{K}(U_1)$ . Pour u = 1, le chemin  $\omega_{1,s}$  est celui décrit précédemment de  $\omega'$  à  $\Omega_1$ . Pour s = 1 et tout  $u \in [0, 1]$ , on a  $\omega_{u,1} = \omega$  au voisinage de  $R_1$  (Figure 7).

On peut faire mieux car, en même temps que l'on change la condition initiale  $\omega'$  en  $\omega_u$ , on peut changer le plongement de  $V \times [0, +\infty)$ , sans changer celui de  $\partial V \times [0, +\infty)$ , de sorte que, pour  $u=0, V \times \{0\}$  soit contenu dans S: la rétraction de  $R_2$  sur  $A_2$  fournit une isotopie de  $U_1''$  jusqu'à  $U_1-U_1'$ . Dans ce cas, comme  $\tilde{Y}_1$  est un champ de Liouville le long de S tout entier, la déformation de formes symplectiques pour u=0 peut être globalement donnée par  $\omega_{0,s}=e^s(\tilde{\eta}_1(s))_*\omega$ .

Cependant ce dernier chemin n'est pas encore stationnaire, car  $\tilde{Y}_1$  n'est pas un champ de Liouville pour  $\omega$  sur tout  $U_1$ . Pour y parvenir, on choisit, pour



 $u \in [-1, 0]$ , une famille de champs de vecteurs  $Z_u$ , de flots  $\zeta_u$ , joignant  $Z_0 = \tilde{Y}_1$  à  $Z_{-1} = Y_1$  parmi les champs de vecteurs qui coïncident avec  $Y_1$  au voisinage de  $S \cup R_1$  et hors d'un compact de  $U_1$  et dont les orbites sont propres dans  $U_1$  (donc le saturé de S est toujours  $U_1$ ). On applique alors la formule globale

$$\omega_{u,s} = e^s(\xi_u(s))_*\omega, \qquad u \in [-1, 0], \quad s \in [0, 1].$$

Pour u = -1,  $\omega_{-1,s} = \omega$  pour tout s. Finalement  $\omega_{u,1}$  pour u variant de -1 à +1 joint  $\omega$  à  $\Omega_1$ , avec les propriétés requises.

Enfin, la contractibilité du lacet décrit dans l'énoncé résulte de la construction même du chemin de  $\Omega_1$  à  $\omega$ .

L'isotopie de Moser à support dans  $U_1 - R_1$  qui ramène  $\Omega_1$  sur  $\omega$  modifie le plongement  $\chi_1 \phi_1 \mid R_2$  en un plongement  $\Psi_1: (R_2, \omega) \to (U_1 - R_1, \omega)$ . Il reste à voir que ce plongement symplectique est isotope, de façon hamiltonienne dans  $(M - R_1, \omega)$ , à l'injection de  $R_2$ .

Dit brièvement, le chemin de  $R_2$  à  $\Psi_1(R_2)$  est "hamiltonien vis-à-vis de formes variables". On applique à ce chemin de formes une procédure de redressement de la structure symplectique analogue à la précédente; mais cette fois-ci, elle est appliquée à M et non à  $U_1$  et c'est là que l'on utilise les hypothèses à l'infini.

Notons  $\Psi_t$ ,  $t \in [0, 1]$ , la famille de plongements  $R_2 \to M - R_1$  obtenue en mettant bout à bout le chemin  $\chi_1 \phi_t \mid R_2$  puis l'isotopie de Moser;  $\Psi_0$  est l'inclusion et  $\Psi_1$  est  $\omega$ -symplectique à valeurs dans  $U_1 - R_1$ .

LEMME 3. Il existe un lacet  $\{\omega(t)\}$  contractile dans  $\mathcal{K}(M)$  tel que  $\Psi_t: (R_2, \omega) \to (M - R_1, \omega(t))$  soit symplectique.

Preuve. Essentiellement le lacet  $\{\omega(t)\}$  est donné par le bord du rectangle de la figure 7. En changeant le paramétrage, on peut supposer que  $\Psi_t = \Psi_0$  sur un intervalle de temps au cours duquel on déforme  $\omega$  en  $\omega'$  par  $(\chi_u)_*$ ; cette déformation est stationnaire sur  $R_2$ . Ensuite  $\Psi_t$  varie comme  $\chi_1 \varphi_1$  et est symplectique de  $(R_2, \omega)$  vers  $(M - R_1, \omega')$ . Puis on déforme  $\omega'$  en  $\Omega_1$  selon le chemin de la figure 7; cette déformation est constante sur  $\chi_1 \varphi_1(R_2)$ . On finit en déformant  $\chi_1 \varphi_1$  et  $\Omega_1$  par l'isotopie de Moser.

Pour la fin, on peut oublier comment  $\Psi_t$  et  $\omega(t)$ ,  $t \in [0, 1]$ , ont été fabriqués et partir simplement du lemme 3. Par commodité, on suppose que l'un et l'autre sont indépendants de t pour t voisin de 0 et de 1. Le lemme suivant permettra de conclure grâce à Moser.

### LEMME 4.

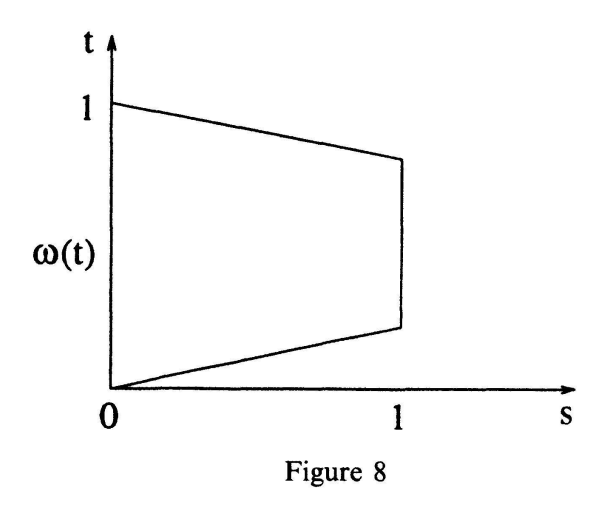
- (1) Il existe une famille de formes symplectiques  $\omega_s(t) \in \mathcal{K}(M)$ ,  $s, t \in [0, 1]$  vérifiant:
  - (i)  $\omega_s(t) = \omega(t)$  le long de  $\Psi_t(R_s)$ ,
  - (ii)  $\omega_0(t) = \omega(t)$ ,
  - (iii)  $\omega_1(t) = \omega$  le long de  $R_1$ ,
  - (iv) pour tout s,  $\omega_s(0) = \omega_s(1) = \omega$ .
- (2) Le lacet  $t \mapsto \omega_1(t)$  est contractile dans le sous-espace  $\mathcal{K}(M \mod R_1)$  des formes symplectiques qui coïncident avec  $\omega$  voisinage de  $R_1$ .

Preuve. 1) Comme les anses de la paire (M, S) peuvent s'attacher sur S sans toucher  $A_1$  (hypothèse H2), il est facile de trouver un champ de vecteurs  $Z_0$ , coıncidant avec  $Y_1$  sur un voisinage  $V(R_1)$  de  $R_1$  et hors d'un compact, tel que le saturé de  $V(R_1)$  par  $Z_0$  évite  $R_2$  et soit proprement plongé dans M. Soit  $\widetilde{\Psi}_t$  une isotopie ambiante prolongeant  $\Psi_t$  à support compact dans  $M - R_1$ ; on pose  $Z_t = \widetilde{\Psi}_{t_*} Z_0$  et on note  $s \mapsto \xi_t(s)$  son flot. Le  $Z_t$ -saturé de  $V(R_1)$  est proprement plongé, évite  $\Psi_t(R_2)$  et est indépendant de t hors d'un compact; dans ce domaine, on considère la formule:

$$\omega_{s,t} = e^{s}(\xi_t(s))_*\omega(t). \tag{5}$$

Soit  $M_t$  la variété obtenue à partir de M en retirant le  $Z_t$ -saturé de  $V(R_1)$ , un voisinage de  $\Psi_t(R_2)$  et un voisinage des anses de la paire  $(M, S \cup \Psi_t(R_2))$ . Cette variété est de la forme  $V \times [0, +\infty)$  où V est une variété compacte à bord.

La formule  $s \mapsto \omega_{s,t}$  donne une déformation de  $\omega(t)$  le long de  $\partial V \times [0, +\infty)$ , que l'on étend de façon stationnaire égale à  $\omega(t)$  le long de  $V \times \{0\}$ . Son prolongement à  $V \times [0, +\infty)$  donne le  $\omega_s(t)$  cherché, vérifiant (i)-(iii). La propriété (iv)



s'obtient en jouant sur l'intervalle où varie s (voir Figure 8). En effet, pout t = 0, 1, le champ  $Z_t$ , qui coïncide avec  $Y_1$  au voisinage de  $R_1$ , est un champ de Liouville pour  $\omega$  sur  $R_1$  et la formule (5) donne une forme symplectique indépendante de s sur  $R_1$ ; donc si on tronque l'intervalle de variation de s pour t voisin de 0 et 1, on ne perd pas la propriété (iii) et on gagne la propriété (iv).

2) Le lacet  $\{\omega(t)\}$  est contractile dans  $\mathscr{K}(M)$ ; il en est donc de même du lacet homotope  $\{\omega_1(t)\}$ . Mais ce dernier se trouve dans  $\mathscr{K}(M \mod R_1)$ . On considère la contraction de  $\{\omega_1(t)\}$  dans  $\mathscr{K}(M)$  et on lui applique la formule habituelle (voir (3)) pour redresser les formes le long de  $R_1$ , puis le théorème de prolongement avec deux paramètres pour obtenir une contraction dans  $\mathscr{K}(M \mod R_1)$ . cqfd

On achève la démonstration du théorème comme suit: d'après le (i) du lemme 4,  $\Psi_t$  est un plongement symplectique de  $(R_2, \omega)$  dans  $(M - R_1, \omega_1(t))$ . Le lemme de Moser (à paramètre) permet de redresser  $\omega_1(t)$  en  $\omega$  par une isotopie à support compact dans  $M - R_1$ , dépendant continûment de t et valant l'identité pour t = 0, 1. En modifiant  $\Psi_t$  par cette isotopie on obtient l'engouffrement cherché, ce qui termine la démonstration du théorème B.

# §3. Démonstration du théorème A

3.1 En remplaçant A par un voisinage dans S, on peut supposer que A est un polyèdre.

LEMME. Si la triangulation est assez fine, on a la propriété de prolongement suivante:

(H4) Pour tout (2n-1)-simplexe  $\sigma$  de A, le germe de Y au voisinage de  $\sigma$  se prolonge en germe de champ de Liouville  $Y_{\sigma}$  le long de S rentrant dans M.

Preuve. Au départ Y est le champ dual d'une forme de Liouville  $\mu = \lambda + df$ . Soit u une fonction sans point critique au voisinage de S telle que  $S = u^{-1}(0)$  et que  $du(\lambda) = 1$  le long de A. Les caractéristiques de S sont dirigées par du, le champ hamiltonien dual de du. La question de prolonger Y en un champ de Liouville le long de S rentrant dans M, c'est-à-dire vérifiant du(Y) > 0 ou encore w(du, Y) > 0, revient à prolonger à S la fonction f de sorte que:

$$\omega(\vec{df}, \vec{du}) + \omega(\vec{\lambda}, \vec{du}) < 0, \tag{6}$$

ou encore  $df(\vec{du}) < 1$ .

En général l'application de l'inégalité des accroissements finis sur un segment caractéristique de S ayant ses deux extrémités dans A interdit l'existence d'un prolongement. En revanche si  $\sigma$  est assez petit, il n'y a pas d'obstruction à trouver un prolongement de  $f_{|\sigma}$  satisfaisant (6) en tout point de S. Précisément l'obstruction est nulle s'il existe T>0 vérifiant:

- $-\max f_{|\sigma}$ - $\min f_{|\sigma} < T$ ;
- $-\sigma$  est contenu dans une boîte B du flot de du telle que le temps de retour de B dans lui-même soit > T (voir chap. I, 2.4).

Cette condition est satisfaite si le diamètre de  $\sigma$  est assez petit.

3.2. La démonstration du théorème A se fait maintenant par récurrence sur le nombre de (2n-1)-simplexes de A dans une triangulation vérifiant (H4).

Soit  $\sigma$  un (2n-1)-simplexe de A. On écrit  $A = \sigma \cup A'$  avec  $\sigma \cap A' = \tau \subset \partial \sigma$ ;  $\tau$  est un sous-polyèdre de A'. Par hypothèse de récurrence, l'ouvert  $U_0$  saturé positif de S par  $\lambda$  contient le cylindre de Liouville  $C' = A' \times [0, 1]$  après une isotopie hamiltonienne convenable à support compact dans int M. Soit  $Y_1 = Y_\sigma$  le champ de Liouville donné au voisinage de S par le lemme 3.1 et globalisé par partition de l'unité de sorte que  $Y_1 = Y$  le long de  $\sigma \times [0, 1]$ . Notons  $U_1$  le saturé positif de S par  $Y_1$ . En vertu du lemme 1 du §2,  $U_1$  peut engouffrer C' par une isotopie hamiltonienne à support compact dans int M. Notons  $U_2$  le résultat sur  $U_1$  de cette isotopie:  $U_2 \supset C'$ . Cet ouvert est muni naturellement d'un champ de Liouville  $Y'_2$ , transporté de  $Y_1$  par l'isotopie. Considérons les polyèdres  $P_1$  et  $P_2$  respectivement saturé positif de  $\tau$  jusqu'au temps 1 par les champs  $Y_1$  et  $Y'_2$ . On a  $P_1 \subset C'$  car  $Y_1 = Y$  au voisinage de  $\tau \times [0, 1]$ . Donc  $P_1$  et  $P_2$  sont tous les deux dans  $U_2$ .

LEMME. Il existe une isotopie hamiltonienne à support compact dans  $U_2 - S$  transportant  $P_2$  sur  $P_1$  avec leurs champs de Liouville respectifs.

Preuve. La structure symplectique au voisinage d'un cylindre de Liouville est

conjuguée à celle d'un modèle Q déterminé par la structure symplectique et le champ de Liouville au voisinage de la base du cylindre. Comme  $Y_1 = Y_2'$  au voisinage de  $\tau$ ,  $P_1$  et  $P_2$  ont des voisinages symplectomorphes. L'isotopie va être donnée par une interpolation. A l'aide d'une partition de l'unité, on choisit un champ de Liouville  $Y_1'$  coïncidant avec  $Y_1$  au voisinage de  $S \cup P_1$  et avec  $Y_2'$  hors d'un compact de  $U_2$ . Cette dernière condition assure que le saturé positif de S par  $Y_1'$  est contenu dans  $U_2$ . Soit  $Y_1' = (t-1)Y_2' + (2-t)Y_1'$ ,  $t \in [1, 2]$ ; c'est un champ de Liouville coïncidant avec  $Y_2'$  hors d'un compact de  $U_2 - S$ . Soit  $P_t$  le saturé positif de  $\tau$  par  $Y_1'$  jusqu'au temps 1;  $P_t$  est l'image d'un plongement canonique  $\phi_t$ :  $\tau \times [0, 1] \rightarrow U_2$  et  $t \in [1, 2] \mapsto \phi_t$  est une isotopie d'un plongement canonique  $\phi_t$ :  $\tau \times [0, 1] \rightarrow U_2$  et  $t \in [1, 2] \mapsto \phi_t$  est une isotopie hamiltonienne de plongements. L'isotopie cherchée s'obtient par extension des isotopies.

On note alors  $Y_2$  le transporté de  $Y_2'$  par cette isotopie. L'ouvert  $U_2$  est le saturé positif de S par  $Y_2$  et contient C'. Par construction  $Y_2 = Y_1$  au voisinage de  $\tau \times [0, 1]$ . Les hypothèses du théorème B sont satisfaites, avec  $R_1 = \sigma \times [0, 1]$ ,  $R_2 = C' = A' \times [0, 1]$ , ce qui achève la démonstration du théorème A.

# Chapitre III ENGOUFFREMENT DE SOUS-VARIÉTÉS LAGRANGIENNES

On revient à la situation décrite dans l'introduction et en se fondant sur le théorème d'engouffrement des cylindres de Liouville on va établir le théorème d'engouffrement des sous-variétés lagrangiennes qui y a été annoncé.

On rappelle que:

- $(M^{2n}, \omega = d\lambda)$  est une variété symplectique exacte convexe à l'infini de dimension  $\geq 6$ ,
- L est une sous-variété lagrangienne exacte compacte connexe,
- U(L) est un ouvert de M isomorphe à  $T^*L$ ,
- $\pi_1(M, L) = 0, \pi_2(M, L) = 0,$
- $\{L_t\}$  est un chemin de sous-variétés lagrangiennes compactes  $\lambda$ -exactes avec  $L_0 \subset U(L)$ .

THÉORÈME D'ENGOUFFREMENT GÉNÉRIQUE. L'ouvert cotangent U(L) peut engouffrer rel. L une  $\varepsilon$ -approximation de  $\{L_t\}$ .

Tous les champs de Liouville considérés dans ce chapitre sont équivalentes à  $\vec{\lambda}$  au sens où ils ne diffèrent de  $\vec{\lambda}$  que par un hamiltonien à support compact.

### §1 Préliminaires

# 1.1 Stratification associée à L.

Considérons l'espace  $\mathscr{L}$  des sous-variétés lagrangiennes  $\lambda$ -exactes difféomorphes à  $L_0$ , muni de la topologie  $C^{\infty}$ . Le type de contact d'un élément  $L' \in \mathscr{L}$  avec L permet de stratifier  $\mathscr{L}$  comme suit:

- $-\mathcal{L}^0$  est formé des sous-variétés transverses à L; c'est un ouvert dense;
- $\mathcal{L}^1$  est formé des sous-variétés ayant exactement un point de contact avec L, lequel est quadratique;  $\mathcal{L}^1$  est une "sous-variété de codimension 1";
- $-\mathscr{L}^2$ : =  $\mathscr{L} (\mathscr{L}^0 \cup \mathscr{L}^1)$ ; c'est un fermé de codimension > 1.

Le théorème de transversalité de Thom énonce que génériquement un chemin  $\{L_{\iota}\}$  dans  $\mathscr{L}$  est transversal à  $\mathscr{L}^{1}$  et évite  $\mathscr{L}^{2}$ .

Dans ce cas l'isotopie est formée d'un nombre fini de chemins des types suivants:

- chemin où  $L_t$  reste transverse à L;
- chemin conjugué à un chemin élémentaire d'elimination ou de naissance d'une paire de points d'intersection avec L.

Cette dernière définition sera précisée ultérieurement. Pour le théorème d'engouffrement générique, il suffit de considérer successivement ces deux types de chemins. Dans les deux cas, l'ingrédient essentiel est le théorème suivant, établi au chapitre II.

# 1.2 Le théorème d'engouffrement des cylindres de Liouville

On considère une hypersurface S compacte connexe, bordant un domaine compact. La composante non compacte du complémentaire est notée Ext S (extérieur de S) et la composante compacte est notée Int S (intérieur de S).

On suppose que S est transverse à un champ de Liouville X (qui pointe nécessairement vers Ext S); on note  $U_X$  le saturé positif de S par X. On se donne un cylindre  $C = A \times [0, 1]$  dans Ext S, dont la base  $A = A \times \{0\}$  est contenue dans S. On suppose que C est un cylindre de Liouville, c'est-à-dire qu'il existe au voisinage de C un champ de Liouville Y, transverse à S et tangent aux lignes  $\{a\} \times [0, 1]$ ,  $a \in A$ .

THÉORÈME. Il existe une isotopie hamiltonienne de Ext S, stationnaire sur S, à support compact et poussant  $U_X$  jusqu'à contenir C.

### 1.3 Première réduction, chemin de type constant

Deux chemins  $\{L_t\}$  et  $\{L'_t\}$  sont dits *conjugués* s'il existe une isotopie hamiltonienne préservant  $L, \psi_t: (M, L) \to (M, L)$ , telle que, pour tout  $t \in [0, 1], L'_t = \psi_t(L_t)$ . Si l'ouvert U(L) peut engouffrer le chemin  $\{L_t\}$  rel. L, il peut aussi engouffrer tout autre chemin qui lui est conjugué.

LEMME. Un chemin dans  $\mathcal{L}^0$  est conjugué à un chemin, dit de type constant, où  $L_t \cap L$  est fixe et où  $\{L_t\}$  est stationnaire au voisinage de l'intersection avec L.

En effet, d'une part il existe une isotopie de L en lui-même qui ramène  $L_t \cap L$  à sa position initiale. Comme L est lagrangienne cette isotopie s'étend en isotopie hamiltonienne ambiante. D'autre part l'espace des germes de disques lagrangiens transverses à L en un point donné est contractile. Une seconde isotopie hamiltonienne permet donc de redresser  $L_t$  au voisinage de  $L_t \cap L$ .

#### 1.4 Seconde réduction, chemin linéaire

Soit  $U(L_0) \cong T^*L_0$  un ouvert cotangent muni de sa structure fibrée. Soit  $f: L_0 \to \mathbb{R}$  une fonction  $C^{\infty}$ . Le graphe de df dans  $T^*L_0$  donne une sous-variété lagrangienne  $\lambda$ -exacte. Réciproquement tout élément de  $\mathscr{L}$  assez proche de  $L_0$  est un tel graphe car la  $\lambda$ -exactitude équivaut à l'exactitude dans le cotangent.

Le chemin  $\{L_t\}$  formé des graphes des différentielles t df,  $t \in [0, 1]$ , est le prototype d'un chemin linéaire dans  $\mathscr L$  et la fonction f est sa fonction génératrice. On obtient un chemin linéaire par morceaux en mettant bout à bout un nombre fini de chemins linéaires (à reparamétrage près).

Si  $L_0$  est transverse à L et si df est assez petite, le chemin linéaire associé est dans  $\mathcal{L}^0$ . Si de plus f est constante au voisinage de chaque point d'intersection avec L, le chemin linéaire est de type constant.

Grâce à la compacité de l'intervalle [0, 1] et sachant que tout élément de  $\mathcal{L}$  donne lieu à un ouvert cotangent, on établit immédiatement:

LEMME. Pour tout chemin de type constant  $\{L_t\}$  et tout  $\varepsilon > 0$ , il existe un chemin linéaire par morceaux  $\{L_t'\}$  ayant les mêmes extrémités et tel que, pour tout  $t \in [0, 1], L_t'$  soit  $\varepsilon$ -proche de  $L_t$ .

Au §2 on établira que le théorème d'engouffrement vaut pour les chemins linéaires de type constant. Comme conséquence on aura l'engouffrement des chemins de type constant linéaires par morceaux et donc l'engouffrement des isotopies génériques  $\{L_i\}$  où  $L_i$  reste transverse à L. L'engouffrement des chemins élémentaires de naissance ou d'élimination d'une paire de points d'intersection avec L sera traité au §3, achevant ainsi la démonstration du théorème d'engouffrement générique.

Pour finir ce paragraphe de préliminaires, on dégage une idée d'équivalence très utile pour l'engouffrement.

### 1.5 Principe d'équivalence

Si S est une hypersurface transverse à un champ de Liouville Y et borde un domaine compact, on note W(S, Y) la réunion de ce domaine et du saturé positif de S.

LEMME. Soit  $(S_t, Y_t)$ ,  $t \in [0, 1]$ , une famille à un paramètre d'hypersurfaces et de champs de Liouville transverses (où  $Y_t$  diffère de  $Y_0$  par un champ hamiltonien). Alors  $W(S_0, Y_0)$  et  $W(S_1, Y_1)$  engouffrent les mêmes compacts; autrement dit, tout compact du premier ouvert peut être poussé dans l'autre par une isotopie hamiltonienne.

Preuve. Observant que  $S_{t+\delta t}$  est encore transverse à  $Y_t$  pour  $\delta t$  assez petit, par une discrétisation du paramètre il suffit de considérer le cas où  $S_t = S_0$  pour tout t. Soit K un compact de  $W(S_0, Y_0)$  et soit  $S_0'$  l'image de  $S_0$  par le flot de  $Y_0$  au temps T choisi assez grand pour que  $S_0'$  soit au-delà de K (Ext  $S_0' \cap K = \emptyset$ ). Soit  $S_1'$  l'image de  $S_1 = S_0$  par le flot de  $Y_1$  au même temps T. On sait qu'il existe une isotopie hamiltonienne rel.  $S_0$  poussant  $S_1'$  sur  $S_0'$  (truc d'Alexander, lemme 1 §2 Chap. II) et donc  $W(S_1, Y_1)$  jusqu'à contenir K.

Le principe d'équivalence s'applique évidemment

- (1) à des hypersurfaces isotopes en restant transverses à un même champ de Liouville;
- (2) à une hypersurface munie de deux champs de Liouville transverses;
- (3) à deux hypersurfaces se déduisant l'une de l'autre par isotopie hamiltonienne.

Avec l'hypothèse du lemme ci-dessus, on dira que  $S_0$  et  $S_1$  sont des hypersurfaces équivalentes. Si toutes les  $S_i$  sont au-delà d'un compact K on les dira équivalentes rel. K. On donne ci-dessous un critère d'équivalence.

# 1.6 Critère d'équivalence

Soit (S, X) une hypersurface munie d'un champ de Liouville transverse. Soit A une sous-variété compacte de S et  $C \cong A \times [0, 1]$  un cylindre de Liouville engendré par un champ de Liouville Y (défini seulement au voisinage de C); Y est transverse à S le long de A et  $C \cap S = A \times \{0\}$ . Soit S' une hypersurface obtenue à partir de S par un glissement le long des orbites de Y.

LEMME. Si dim  $A \le n-2$  et quitte à remplacer S par une hypersurface voisine, S' est équivalente à S.

Remarque. S est bien équivalente à toutes ses approximations; cela ne prouve pas qu'après glissement elles restent équivalentes.

Preuve. D'après 1.5 il suffit de prouver que Y se prolonge en un champ de Liouville transverse à S. Au voisinage de C on a  $Y = X + \overrightarrow{df}$ , où  $\overrightarrow{df}$  est un champ hamiltonien. Si u est une fonction, telle qu'en tout point de S on ait u = 0 et du(X) > 0, et si  $\overrightarrow{du}$  est le champ hamiltonien correspondant, la transversalité de Y à S s'écrit:

$$df(\overrightarrow{du}) < du(X).$$

Disons que  $du(X) \ge 1$ . Soit  $T = \max f_{|A} - \min f_{|A}$ . Génériquement sur S, le flot de  $\overrightarrow{du}$  ne va pas de A sur lui-même en temps < T; en effet l'espace des orbites de  $\overrightarrow{du}$  est de dimension 2n - 2 > 2 dim A. Le prolongement de la fonction f vérifiant l'inégalité ci-dessus se fait sans difficulté (voir chap. I, 2.4).

Si dim A = n - 1, il y a un nombre fini de retours en temps < T. Si de tels retours n'existent pas, S' est équivalente à S.

## §2. Rideau d'un chemin linéaire

2.1 DÉFINITION. Etant donné un chemin linéaire de type constant de fonction génératrice  $f: L_0 \to \mathbb{R}$ , le rideau associé est la réunion R(f) des graphes des différentielles t df,  $t \in [0, 1]$  dans  $U(L_0) \cong T^*L_0$ .

Le rideau R(f) est une sous-variété singulière de dimension n+1, difféomorphe à  $L_0 \times [0, 1]$ , chaque segment au-dessus d'un point critique de f étant écrasé sur un point.

L'engouffrement d'un chemin linéaire de type constant est réalisé par l'engouffrement du rideau associé.

- 2.2 PROPOSITION (Engouffrement d'un rideau). Il existe une isotopie hamiltonienne  $\varphi_t: M \to M$ ,  $t \in [0, 1]$ , à support compact, stationnaire sur  $L \cup L_0$  et telle que  $h_1(U(L))$  contienne R(f).
- 2.3 Réduction à l'engouffrement d'un rideau régulier

Via la projection  $R(f) \to L_0$  induite par la projection  $T^*L_0 \to L_0$ , on étend  $f: L_0 \to \mathbb{R}$  en une fonction  $\tilde{f}: R(f) \to \mathbb{R}$ . Une sous-variété de dimension n contenue dans un niveau de  $\tilde{f}$  est lagrangienne.

Remarque. Comme toute isotopie interne à une sous-variété lagrangienne s'étend en une isotopie hamiltonienne ambiante préservant celle-ci, on peut supposer au départ que U(L) contient la préimage par  $\tilde{f}$  des valeurs critiques de f. Ainsi il reste à réaliser l'engouffrement d'un rideau régulier (définition ci-dessous) disjoint de L.

DEFINITION. Un rideau régulier R est une sous-variété (non singulière) de dimension n+1, munic d'une submersion  $\pi: R \to [a, b] \times [0, 1]$ , avec les deux propriétés suivantes:

- (i) la forme induite par  $\omega$  sur R est  $\pi^*(ds \wedge du)$ , où (s, u) désigne les coordonnées du but:
- (ii) les fibres de  $\pi$  sont des sous-variétés compactes sans bord  $\lambda$ -exactes.

EXEMPLE. Si  $R \subset R(f)$  est la préimage par  $\tilde{f}$  d'intervalles de valeurs régulières de  $\tilde{f}$ , alors R est un rideau régulier. Sur chaque composante connexe de R on a  $s \circ \pi = \tilde{f}$  et  $u \circ \pi = 1 - t$  (la raison de ce retournement de la verticale apparaît plus loin).

Le bord principal du carré  $[a, b] \times [0, 1]$  est la réunion  $F_p$  des trois côtés  $\{a\} \times [0, 1], [a, b] \times \{1\}, \{b\} \times [0, 1].$  Le bord libre  $F_l$  est le quatrième côté  $[a, b] \times \{0\}$  (Figure 9).

Le bord principal du rideau R est  $\partial_{p}R = \pi^{-1}(F_{p})$  et le bord libre du rideau est  $\partial_I R = \pi^{-1}(F_I).$ 

D'après la remarque ci-dessus l'engouffrement d'un rideau se réduit à la proposition suivante.

PROPOSITION (Engouffrement d'un rideau régulier). Soit R un rideau régulier. Soit K un compact de U(L) tel que  $K \cap \partial_{p}R$  et qui se rétracte sur un polyèdre de codimension ≥3. Alors, sous l'hypothèse de convexité à l'infini, il existe une isotopie hamiltonienne  $\varphi_t: M \to M, t \in [0, 1], à$  support compact, stationnaire sur K et telle que  $h_1(U(L))$  contienne R.

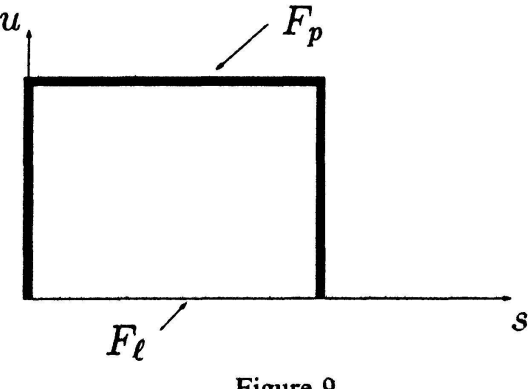


Figure 9

Pour déduire 2.2, on prend R comme dans l'exemple ci-dessus et  $K = L \cup L_0 \cup \overline{(R(f) - R)}$ .

La stratégie est la suivante: on considère une hypersurface S dans U(L) au-delà de K et un champ de Liouville X, transverse à S, tel que  $Ext \ S \cap U(L)$  soit le saturé positif de S. On prend S transverse à R. Supposons provisoirement qu'il existe un champ de Liouville Y transverse à S et tangent à R. L'image de S en un temps T assez grand du flot de Y est au-delà de R. Le principe d'équivalence 1.5 donne l'engouffrement cherché.

En fait, cette méthode se heurte à des obstructions mais on peut au moins simplifier  $S \cap R$  jusqu'à pouvoir appliquer le théorème d'engouffrement des cylindres de Liouville (1.2) qui a une hypothèse moins restrictive concernant le champ Y.

### 2.4 Champ de Liouville sur un rideau régulier

Les deux remarques suivantes sont élémentaires:

- (1) Tout champ de vecteurs sur  $[a, b] \times [0, 1]$  dont les orbites vont du bord principal au bord libre peut être rendu de Liouville pour  $ds \wedge du$  (resp. anti-Liouville = l'opposé d'un champ de Liouville) en le multipliant par une fonction positive convenable, de sorte que son flot dilate (resp. contracte) les aires exponentiellement.
- (2) Tout champ tangent à R relevant un champ de Liouville de  $[a, b] \times [0, 1]$  est la restriction d'un champ de Liouville pour  $\omega$ , équivalent à  $\lambda$  car les cycles de dimension 1 de R sont dans les fibres de  $\pi$  sur lesquelles  $\lambda$  est exacte. Bien entendu, ce champ global ne peut pas généralement être transverse à S; dans ce qui suit cette question est étudiée de plus près.

#### 2.5 Contour apparent

Si S est une hypersurface transverse à R,  $S \cap R$  est une variété de dimension n dont le rang symplectique est non constant. Elle est de rang 2, sauf le long du contour apparent à la source de  $\pi \mid S \cap R$ , lieu qui génériquement est une courbe  $\Gamma$  et en chaque point duquel le plan tangent à  $S \cap R$  est lagrangien.

Pour  $s \in [a, b]$  tel que S soit transversal à  $\pi^{-1}(\{s\} \times [0, 1])$  on note  $h_s$  la fonction hauteur  $u \circ \pi | S \cap \pi^{-1}(\{a\} \times [0, 1])$ . Les points critiques de  $h_s$  sont les points de  $\Gamma$  d'abscisse s. Génériquement  $\Gamma$  est l'adhérence de  $\int_S \operatorname{crit} h_s$ .

On a une autre caractérisation de  $\Gamma$ :

LEMME. Γ est le lieu des points où R est tangent aux caractéristiques de S.

Preuve. Si  $z \in \Gamma$ , le plan tangent à  $S \cap R$  en z est lagrangien donc il doit contenir la direction caractéristique de  $T_zS$ . Si  $z \notin \Gamma$ , il existe un vecteur v tangent à la fibre de  $\pi$  contentant z et transverse à S; si  $\tau$  est un vecteur tangent à R,  $\omega(v, \tau) = 0$  ce qui interdit que  $\tau$  soit dans la direction caractéristique de S.

Le contour apparent au but  $\pi(\Gamma)$  est une courbe qui génériquement ne présente pas de points triples et un nombre fini de points remarquables:

- points doubles à croisement normaux,
- points de rebroussement,
- points à tangente verticale (parallèle à  $\partial/\partial u$ ).

Pour chaque arc  $\alpha \subset \Gamma$  tel que  $\pi(\alpha)$  ne contienne aucun point à tangente verticale et aucun point de rebroussement sauf éventuellement aux extrémités, on peut associer un *indice*, l'indice de Morse de la fonction hateur  $h_s$  au point de  $\alpha$  d'abscisse s (qui est indépendant de s). On peut associer aussi la variété instable  $W''(\alpha)$  pour un champ descendant tangent aux feuilles  $S \cap \pi^{-1}(\{s\} \times [0, 1])$  et qui sur chaque feuille est de gradient pour  $h_s$  au sens d'une métrique auxiliaire.

- 2.6 LEMME. Soit A une bande verticale dans  $[a, b] \times [0, 1]$ . On suppose que  $\pi(\Gamma) \cap A = \pi(\alpha)$  où  $\alpha$  est un arc de  $\Gamma$  dont la projection n'a pas de tangente verticale. Alors il existe un champ de Liouville Z tangent à  $\pi^{-1}(A)$  avec les propriétés suivantes:
  - (a) Z relève un champ de Liouville vertical sur A.
  - (b) Z est transverse à S le long de  $S \cap \pi^{-1}(A)$  et pointe vers Ext S.

Preuve. En un point de  $\alpha$ , un vecteur tangent au rideau et pointant vers l'extérieur de S a une composante sur  $\partial/\partial u$  dont le signe + ou - est indépendant du point sur  $\alpha$ , car  $\pi(\alpha)$  n'a pas de tangente verticale. Connaissant ce signe on détermine sur A un champ de Liouville  $\xi$  vertical dirigé dans le même sens. On choisit des relèvements locaux de  $\xi$  que l'on recolle par partition de l'unité. En un point de  $S \cap R$  qui n'est pas sur le contour apparent, on est libre de choisir le relèvement pointant vers l'extérieur ou l'intérieur de S; on fait le premier choix.

#### 2.7 Un lemme de la théorie de Morse

Le lemme suivant est bien connu en théorie de Morse. La situation est la même que dans le lemme précédent.

LEMME. Soit  $\{\pi(\alpha)_{\tau}\}$ ,  $\tau \in [0, 1]$ , un glissement descendant de l'arc  $\pi(\alpha)$  le long des verticales, fixe près du bord. Alors il existe un glissement de  $S \cap \pi^{-1}(A)$  le long de

Z, à bord fixe, tel que pour tout  $\tau \in [0, 1]$ ,  $\pi(\alpha)_{\tau}$  soit le contour apparent de  $[S \cap \pi^{-1}(A)]_{\tau}$ . De plus le glissement est fixe hors d'un voisinage de  $W^{u}(\alpha)$ .

Commentaire. Tout se passe dans un voisinage du Z-saturé descendant de  $W^u(\alpha)$ , noté  $W^u_Z(\alpha)$ . C'est une sous-variété (à bord et coins) et chaque orbite de Z qui lui est tangente descend jusqu'au niveau u=0.

## 2.8 Descente d'un point

LEMME. Soit A un sous-rectangle  $[a', b'] \times [0, 1]$  de  $[a, b] \times [0, 1]$ . On suppose que  $\pi(\Gamma) \cap A$  est connexe et ne contient qu'un point remarquable  $\pi(z_0)$ . Alors:

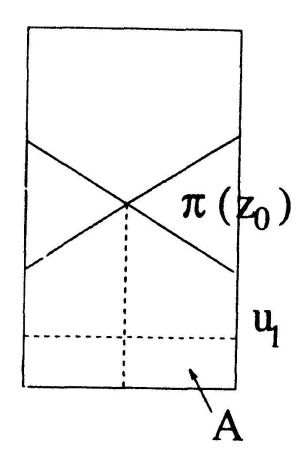
- (1) il existe une isotopie hamiltonienne de A à support dans intA descendant  $\pi(z_0)$  jusqu'à un niveau inférieur  $\{u=u_1\}$  donné à l'avance. De plus, au cours de l'isotopie l'image de tout segment vertical descendant d'un point de  $\pi(\Gamma)$  reste verticale au-dessus du niveau  $u_1$ .
- (2) Le relèvement à R est la restriction d'une isotopie hamiltonienne ambiante préservant R. L'allure du contour apparent au but est préservée (même nombre de points remarquables).
- (3) Les mêmes conclusions valent encore si  $\pi(\Gamma) \cap A = \emptyset$  et si  $z_0$  est un point quelconque de  $\pi^{-1}(A) \cap S$ .

Preuve. (1) Il existe une isotopie de plongements de  $\pi(\Gamma) \cap A \to A$ , déplaçant  $\pi(z_0)$  comme on le veut, déplaçant chaque point de  $\pi(\Gamma)$  sur sa verticale et préservant l'aire de chaque composante du complémentaire. Elle n'introduit aucun point remarquable. La figure 10 représente le cas d'un point de croisement. Cette isotopie se prolonge en isotopie de A préservant l'aire. Si on prend soin des deux conditions suivantes, on peut avoir le résultat complémentaire demandé sur les verticales:

- l'aire balayée par tout arc de  $\pi(\Gamma) \cap A$  est plus petite que l'aire en-dessous du niveau  $\{u = u_1\}$ ;
- le déplacement vertical des points qui montent est inférieur à  $u_1$  (Figure 10).
- (2) Soit  $\varphi_t$  un relèvement à R de cette isotopie. C'est une isotopie hamiltonienne pour  $\omega | R$  qui donc se prolonge en isotopie hamiltonienne ambiante par prolongement de fonctions. Enfin le contour apparent de  $\varphi_t(S \cap R)$  est l'image par  $\varphi_t$  du contour apparent de  $S \cap R$ . Le point (3) est évident.

# 2.9 Démonstration de l'engouffrement du rideau

Sans le répéter, il est entendu que toutes les isotopies sont stationnaires sur le compact K donné dans la proposition 2.3.



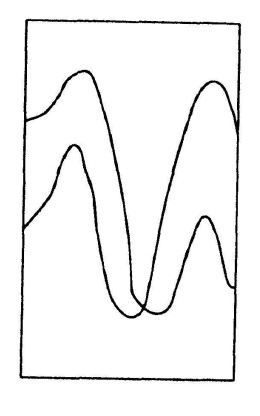


Figure 10

LEMME 1. Il existe une isotopie hamiltonienne de M poussant S en S' de sorte que le contour apparent au but de  $S' \cap R$  n'ait aucun point remarquable.

Preuve. On considère le point remarquable  $z_0$  le plus bas, puis sur la même verticale le point  $\pi(z_1)$  le plus bas de  $\pi(\Gamma)$ . On applique le lemme 2.8 à ce point et ainsi de suite jusqu'à l'appliquer à  $\pi(z_0)$ . A chaque fois on utilise une bande verticale qui descend un peu en-dessous de  $\{u=0\}$ . On fait ainsi fuir  $\pi(z_0)$  vers le bas du rideau et on diminue d'une unité le nombre de points remarquables.

Après ce lemme, le contour apparent au but se présente comme suit (on appelle de nouveau S l'hypersurface). Chaque branche du contour apparent porte un indice compris entre 0 et n-1.

LEMME 2. Il existe une hypersurface S' équivalente à S (rel. K) telle que le contour apparent au but de  $S' \cap R$  ne présente aucun point remarquable et que des branches d'indice n-1 (Figure 11).

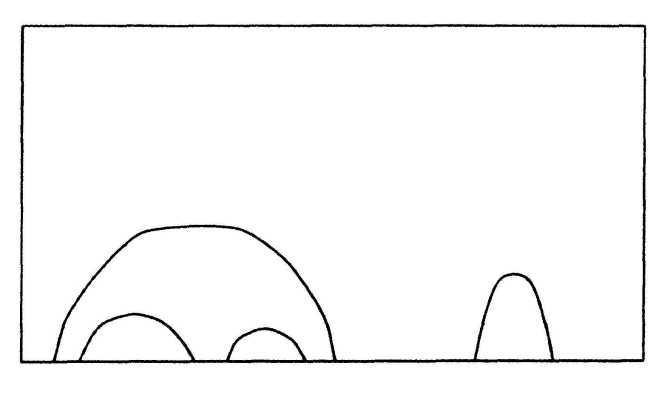


Figure 11

Preuve. Soit  $\alpha$  une branche du contour apparent d'indice k < n-1, minimal; on prend la branche la plus basse parmi celles d'indice minimal. Alors, pour un champ de gradient générique,  $W^u(\alpha)$  descend jusqu'au niveau  $\{u=0\}$  et pour chaque  $z \in \alpha$  d'abscisse s on a une membrane  $m_s$ , disque (à coins) de dimension k+1, contenue dans  $\pi^{-1}(\{s\} \times [0, 1])$ , s'appuyant sur  $W^u(z)$  et descendant jusqu'au niveau  $\{u=0\}$ ; l'intérieur de  $m_s$  évite  $S \cap R$ . La collection des membranes forme un cylindre de Liouville C dont une des extrémités est la variété  $W^u(\alpha)$  de dimension k+1 < n et dont le champ de Liouville générateur Y est tangent aux membranes.

ler cas: k < n-2. Les hypothèses du lemme 1.6 sont satisfaites. Par glissement on fait fuir cette branche du contour apparent par le bas du rideau.

2ème cas: k = n - 2. On est en présence d'une obstruction. Précisément si dH est un champ hamiltonien tangent à S, il existe un temps T (dépendant de C et du choix de dH) tel que les retours du flot de dH de  $W^u(\alpha)$  sur lui-même en temps >0 et < T soient une obstruction à trouver un champ de Liouville transverse à S et tangent à C. Or génériquement il n'y a qu'un nombre fini de points de  $W^u(\alpha)$  ayant un tel retour. De plus si S est l'abscisse d'un tel point S0, génériquement le retour n'a pas la même abscisse. On fait fuir S0 vers le bas du rideau par application du lemme S1.

Après cette isotopie le temps T à considérer est le même qu'initialement car S,  $\overrightarrow{dH}$  et le champ de Liouville Y tangent à C le long de  $W^u(\alpha)$  sont transportés par la même isotopie en vertu du complément au 1 du lemme 2.8. Une fois qu'on a fait fuir ces obstructions, le champ Y se globalise en un champ de Liouville transverse à S et le glissement de S au voisinage de C donne des hypersurfaces équivalentes. cqfd

Le contour apparent au but se présente maintenant de la même façon, mais toutes les branches ont l'indice maximum n-1. Chaque composante de  $S \cap R$  est un disque  $D^n$  bordant, avec un n-disque de  $\{u=0\}$ , une (n+1)-boule anguleuse. L'ensemble de ces disques est muni d'un ordre partiel (un disque est au-dessus d'un autre); supposons pour simplifier qu'il n'existe qu'un disque maximal. On peut alors réaliser les sommes connexes au bord de certaines composantes de  $S \cap R$ . Précisément:

LEMME 3. Il existe S' hypersurface équivalente à S (rel. K) telle que  $S' \cap R$  ne soit formé que de disques maximaux et que le contour apparent au but de chacun d'eux ait l'allure ci-dessous (Figure 12).

Preuve. Il suffit en fait de savoir faire la somme connexe du disque maximal avec un disque immédiatement inférieur dont le contour apparent au but est lui aussi immédiatement inférieur à celui du disque maximal; puis on poursuivra en

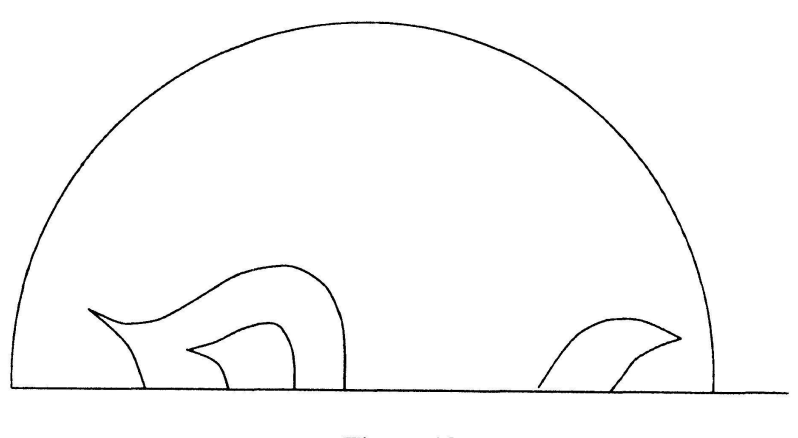


Figure 12

traitant séparement les disques maximaux ainsi obtenus. En topologie différentielle ordinaire, on sait modifier l'intersection d'une hypersurface séparante, ici S, et d'une sous-variété, ici  $L_1$  (le bas du rideau), par une isotopie de S pour réaliser la somme connexe de deux composantes de  $S \cap L_1$  joignables par un arc de  $L_1$  qui ne retraverse pas S.

Il y a deux conditions homotopiques et une condition de dimension. Les conditions homotopiques sont

$$\pi_1(\text{Ext } S, S) = 0 \text{ et } \pi_1(\text{Int } S, S) = 0.$$

Elles sont vérifiées car S est isotope au bord d'un voisinage tubulaire de L dans M avec  $\pi_1(M, L) = 0$ , ce qui garantit la première condition, et codim L > 2 ce qui garantit la seconde. La condition dimensionnelle est codim  $L_1 > 2$ . Dans ce cas il existe un 2-disque de Whitney  $\Delta$  avec la moitié du bord dans S et l'autre dans  $L_1$ . L'isotopie est donnée par un modèle au voisinage de  $\Delta$ .

Comme K se rétracte sur un polyèdre de codimension  $\geq 3$ ,  $\Delta$  peut être pris disjoint de K et l'isotopie se fait loin de K.

Pour modifier l'intersection  $S \cap R$  par somme connexe au bord, sachant que  $L_1$  est dans le bord de R, on choisit  $\Delta$  tangent à  $\partial/\partial u$  le long de  $L_1 \cap \Delta$ , du côté de la tangente sortante de R; le modèle de Whitney fait le travail demandé.

Pour contrôler le contour apparent de la projection  $\pi: S \cap R \to \mathbb{R}^2$  et le réaliser tel qu'il est demandé il suffit de choisir l'arc  $L_1 \cap \Delta$  avec les deux propriétés suivantes:

- (1) une extrémité de  $L_1 \cap \Delta$  est sur le contour apparent de la composante "inférieure";
- (2)  $s \circ \pi | L_1 \cap \Delta$  est une fonction sans point critique.
- (3)  $s \circ \pi(L_1 \cap \Delta)$  ne recoupe pas le contour apparent au but.

En présence d'une structure symplectique, le disque  $\Delta$  peut être symplectique. En effet on commence par le rendre symplectique au voisinage du bord, ce qui est

facile dès que la condition générique, que  $\Delta \cap S$  soit non tangent aux caractéristiques de S, est satisfaite; on peut aussi supposer que l'intégrale de  $\omega$  sur  $\Delta$  est non nulle. Puis par le h-principe de Gromov, on déforme  $\Delta$  rel. un voisinage du bord en un disque symplectique immergé, et donc plongé en position générale.

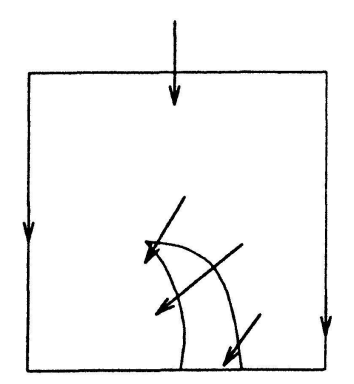
Lorsque  $\Delta$  est symplectique, il peut être muni d'une structure de cylindre de Liouville. Comme son bord dans S est un arc, on peut appliquer 1.6 et conclure que l'hypersurface S' donnée par le modèle de Whitney est équivalente à S. cqfd

LEMME 4. Dans la situation donnée par le lemme 3, il existe un champ de Liouville  $\xi$  sur le rectangle image de  $\pi$ , transversal à chaque branche du contour apparent, pointant dans le sens indiqué par Ext S et dont toutes les orbites coupent  $\{u=0\}$ .

Remarque. Le sens en question ne se lit pas sur le contour apparent au but car, s'il est vrai que deux disques ordonnés de  $S \cap R$  (avant la somme connexe) donnent des branches ordonnées du contour apparent au but, deux disques non comparables peuvent aussi donner des branches ordonnées.

Preuve. On la fait par récurrence sur le nombre de branches de  $\pi(\Gamma)$ . D'après 2.4 1), la question est purement topologique. Soit  $\xi_0$  une solution pour k-1 branches. On considère une bande A d'orbites de  $\xi_0$  aboutissant dans  $\{u=0\}$  et on y insère une courbe  $\gamma$  avec un point de rebroussement, munie d'un champ transverse. Dans les deux cas de figures, on peut modifier  $\xi_0$  sur A pour le rendre compatible avec cette donnée (Figure 13).

On peut maintenant conclure. Dans la situation donnée par le lemme 3,  $S \cap R$  est un disque D bordant avec un disque D' de  $\{u = 0\}$  un domaine C dans Ext S. Le champ de Liouville  $\xi$  donné par le lemme 4 se relève dans C en un champ de Liouville dont les orbites vont de D à D'. Donc C est contenu dans un cylindre de Liouville. Le théorème 1.2 est applicable et finit l'engouffrement du rideau. cqfd



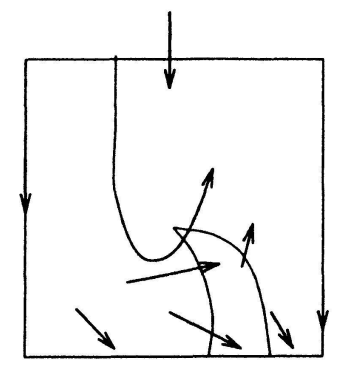


Figure 13

### §3. Engrouffrement des chemins élémentaires de naissance ou d'élimination

On rappelle que  $\mathscr{L}^1$  est l'ensemble des  $L' \in \mathscr{L}$  ayant exactement un contact quadratique avec L.

# 3.1 Modèle du contact quadratique

Soit  $L' \in \mathcal{L}^1$  et soit a le point de contact de L' avec L. D'après Darboux, il existe un voisinage de a isomorphe à un polydisque  $D \times D^*$ , muni de la forme symplectique standard de  $T^*\mathbb{R}^n$ , où  $D \times \{0\}$  est un voisinage de a dans L et où les fibres  $\{pt\} \times D^*$  coupent L' en un seul point et transversalement. Dans ces coordonnées, L' est le graphe de df pour une certaine fonction  $f: D \to \mathbb{R}$  ayant à l'origine une singularité de codimension 1. Donc quitte à rétrécir D autour de D et à y choisir des coordonnées convenables  $(x_1, \ldots, x_n)$ , on a la forme normale:

$$f(x_1, \ldots, x_n) = x_1^3 + q(x_2, \ldots, x_n)$$

où q est une forme quadratique non dégénérée. Par conséquent ce qui est connu sur cette singularité et sur son déploiement universel établit que  $\mathcal{L}^1$  est une sous-variété de codimension 1 et que tout germe de chemin  $\gamma: (\mathbf{R}, 0) \to (\mathcal{L}, \mathcal{L}^1)$ ,  $C^{\infty}$  et transverse à  $\mathcal{L}^1$  en L' est conjugué (au sens 2.3) à un chemin dit "élémentaire" ou chemin de Cerf-Smale (voir Cerf [Ce]).

Le germe de chemin  $\gamma$  en  $L' = \gamma(0)$  est élémentaire si, pour t voisin de 0, la sous-variété  $\gamma(t)$  passe dans le polydisque  $D \times D^*$  selon le graphe de la différentielle de la fonction

$$(x_1, \ldots, x_n) \mapsto x_1^3 \pm tx_1 + q(x_2, \ldots, x_n).$$

Avec le signe +, le chemin est dit élémentaire d'élimination parce que deux points d'intersection avec L disparaissent lorsque t croît de  $0_-$  à  $0_+$ . Avec le signe -, le chemin est dit élémentaire de naissance.

#### 3.2 Un autre modèle de chemin élémentaire

A partir des formules précédentes, on effectue un changement d'axes qui fait disparaître la notion d'indice pour q. Voici donc une nouvelle description du chemin élémentaire typique.

Le modèle est un polydisque B, voisinage du point de contact a de L' avec L. Il a des coordonnées

$$\{(x, \xi, y, \eta) \mid (x, \xi) \in [-\delta, \delta^2], (y, \eta) \in \mathbb{R}^{n-1} \times (\mathbb{R}^{n-1})^*, ||y|| \le R, ||\eta|| \le R\}$$

et, sur B,  $\omega = dx \wedge d\xi + dy \wedge d\eta$ .

L'intersection  $L \cap B$  est définie par  $\xi = 0$ ,  $\eta = 0$ , section nulle de  $T^*\mathbb{R}^n$ . L'intersection  $L' \cap B$  est définie par y = 0,  $\xi = x^2$ . La situation de produit cartésien est résumée sur la figure, où il faut penser  $\delta \le 1$  (Figure 14).

Le chemin élémentaire d'élimination, vu dans B, consiste en une translation parallèle à l'axe  $\xi$ . Précisément, pour  $t \in [0, 1]$ ,

$$L_t \cap B = \left\{ y = 0, \, \xi = x^2 + (2t - 1) \, \frac{\delta^2}{4} \right\}.$$

Hors de B,  $L_t$  est seulement assujetti à rester transverse à L. Pour un chemin de naissance, on change t en 1-t.

Remarque. On peut modifier le modèle précédent pour que le chemin d'élimination soit à support dans le polydisque. Cela suppose que R soit assez grand devant  $\delta$ . Nous n'avons pas besoin d'utiliser ce modèle.

Avec le modèle ci-dessus, on pose les deux définitions suivantes.

(a) Pour  $L_0$ , dont deux points d'intersection avec L sont en position de s'éliminer, on appelle disque de Whitney le disque défini par

$$\Delta = \left\{ y = 0, \, \eta = 0, \, 0 \ge \xi \ge x^2 - \frac{\delta^2}{4} \right\}.$$

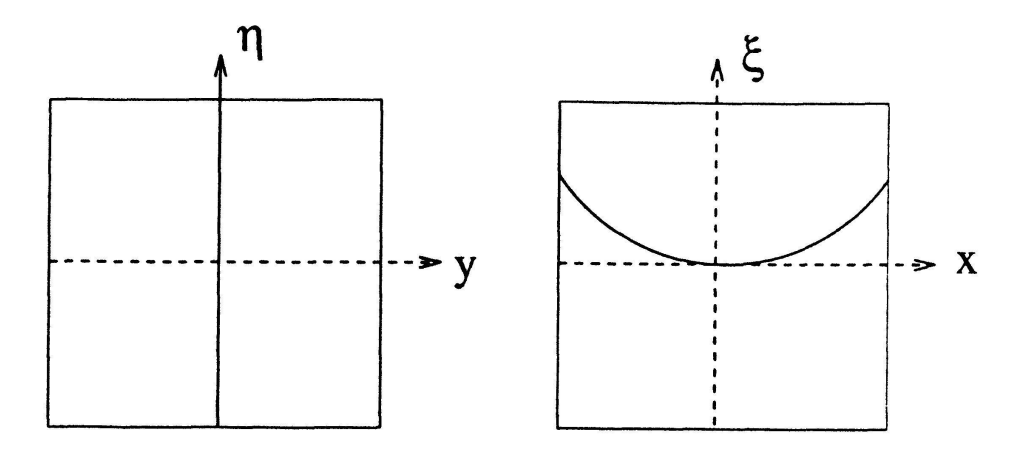


Figure 14

On dit que  $\Delta^0 = \{y = 0, \eta = 0, x^2 - \delta^2/4 \le \xi \le x^2 + \delta^2/4\}$  est le disque de Whitney étendu.

(b) Pour  $L_1$ , qui ne rencontre pas  $L \cap B$ , on appelle arc de naissance le segment

$$J = \left\{ y = 0, \, \eta = 0, \, x = 0, \, 0 \le \xi \le \frac{\delta^2}{4} \right\}.$$

## 3.3 Engouffrement d'un chemin élémentaire

PROPOSITION. Le principe d'engouffrement est valide pour tout chemin élémentaire de naissance ou d'élimination.

Preuve. Disons que  $\{L_t, t \in [0, 1]\}$  est un chemin élémentaire d'élimination;  $L_0 \subset U(L)$ . La première étape consiste à engouffrer le disque de Whitney  $\Delta$ . Comme  $\pi_2(M, U(L)) = 0$  et que dim  $\Delta < \frac{1}{2}$  dim M, on peut le faire en vertu du h-principe [G2]. Donc on peut supposer  $\Delta \subset U(L)$ . Comme le disque de Whitney étendu a la propriété que  $L \cup L_0 \cup \Delta^0$  se rétracte sur  $L \cup L_0 \cup \Delta$ , le même argument permet de supposer que  $\Delta^0 \subset U(L)$ .

Ensuite, par les mêmes réductions qu'au §2, on peut supposer qu'en dehors du polydisque  $B, L_t$  est stationnaire au voisinage de son intersection avec L et que le chemin  $L_t$  est linéaire. On est ramené à l'engouffrement d'un rideau régulier R contenant B.

La projection  $\pi: R \to [a, b] \times [0, 1]$  induit un plongement du disque de Whitney étendu  $\Delta^0$ , allant du niveau u = 0 au niveau u = 1. Donc les mouvements de l'hypersurface S effectués en 2.9 pour simplifier le contour apparent ont tous lieu dans le complémentaire de  $\Delta^0$ , donc dans le complémentaire de L, ce qui achève l'engouffrement du chemin d'élimination.

Pour un chemin de naissance (le même chemin  $\{L_t\}$  parcouru de t=1 à t=0), on réalise d'abord l'engouffrement de l'arc de naissance en utilisant  $\pi_1(M, U(L)) = 0$ , puis l'engouffrement de  $\Delta^0$  car  $L_1 \cup L \cup \Delta^0$  se rétracte sur  $L_1 \cup L \cup J$ . La fin de la preuve est la même que ci-dessus. cqfd

#### Remerciements

Je remercie Jean-Claude Sikorav et Claude Viterbo qui ont écouté patiemment plusieurs versions préliminaires. Je remercie aussi et plus particulièrement Marc Chaperon et Emmanuel Giroux qui ont participé de près à ce travail pendant un long moment.

#### REFERENCES

- [Ba] A. BANYAGA, Sur la structure du groupe des difféomorphismes qui préservent une forme symplectique, Comment. Math. Helv. 53 (1978) 174-227.
- [Be] D. Bennequin, Caustique mystique, Séminaire Bourbaki 1984/5, Astérisque 133-134 (1986) 19-56.
- [Ce] J. CERF, La stratification naturelle des espaces de fonctions différentiables réelles et le théorème de la pseudo-isotopie, Publ. Math. IHES 39 (1970) 5-173.
- [EG] Y. ELIAHSBERG, M. GROMOV, Convex symplectic manifolds, Proc. Symposia in pure math. 52 part 2 (1991) 135-162.
- [G1] M. GROMOV, Pseudo holomorphic curves in symplectic manifolds, Invent. Math. 82 (1985) 307-347.
- [G2] M. GROMOV, Partial differential relations, Springer 1986.
- [Ha] A. HATCHER, Homeomorphisms of sufficiently large P<sup>2</sup>-irreducible 3-manifolds, Topology 15 (1976) 343–347.
- [Ho] H. HOFER, Lagrangian embedding and critical point theory, Ann. de l'Inst. Henri Poincaré, Analyse non linéaire 2 (1985) 407-462.
- [La] F. LAUDENBACH, Bandes caractéristiques, C. R. Acad. Sc. Paris 314 série I (1992) 557-562.
- [Ma] B. MAZUR, Stable equivalence of differentiable manifolds, Bull. Amer. Math. Soc. 67 (1961), 377-384.
- [Mo] J. Moser, On the volume elements on a manifold, Trans. Amer. Math. Soc. 120 (1965), 286-294.
- [Mu] M.-P. MULLER, Une structure symplectique sur R<sup>6</sup> avec une sphère lagrangienne plongée et un champ de Liouville complet, Comment. Math. Helv. 65 (1990) 623-663.
- [Si] J.-C. SIKORAV, Problèmes d'intersections et de points fixes en géométrie hamiltonnienne, Comment. Math. Helv. 62 (1987) 62-73.
- [St] J. STALLINGS, *The piecewise-linear structure of Euclidean space*, Proc. Cambridge Philos. Soc. 58 (1962) 481–488.

Centre de Mathématiques, URA 169 du CNRS Ecole Polytechnique F-91128 Palaiseau Cedex e-mail: laudenbach@orphee.polytechnique.fr

Received February 18, 1994